

Vorlesung 3

- Rückkopplung – nichtinvertierender Verstärker
- Impedanzen und RK
- Integrator (Millereffekt)
- Bode-Diagramm und Stabilität (Nyquistkriterium)
- **CMOS Circuit Design, Layout, and Simulation**, R. Jacob Baker, John Wiley & Sons, 2008

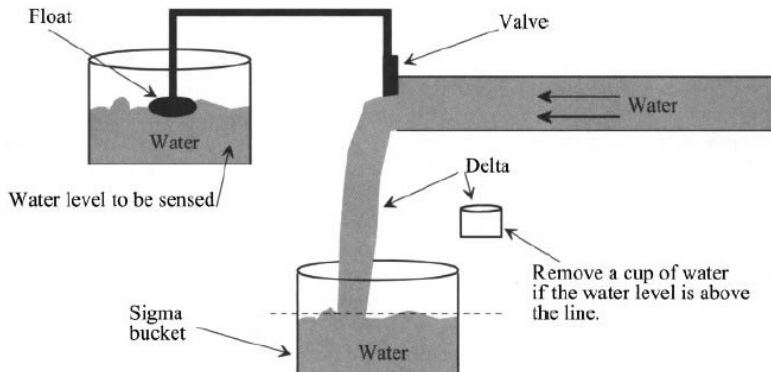
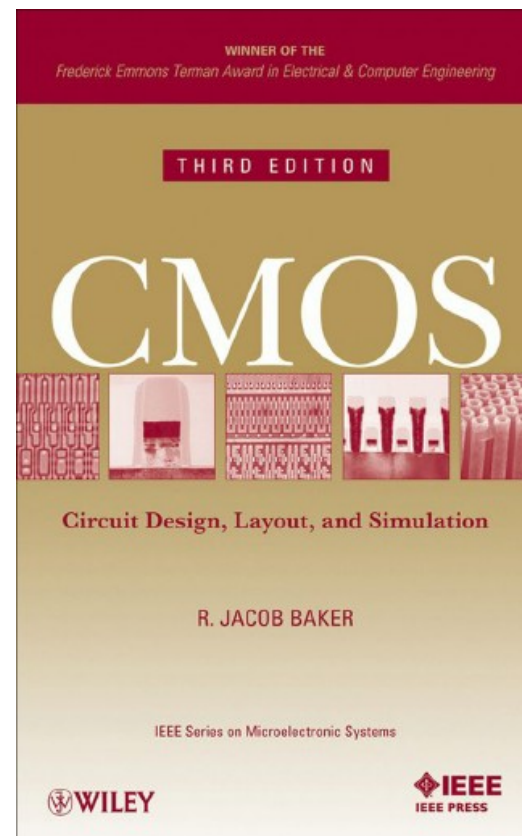


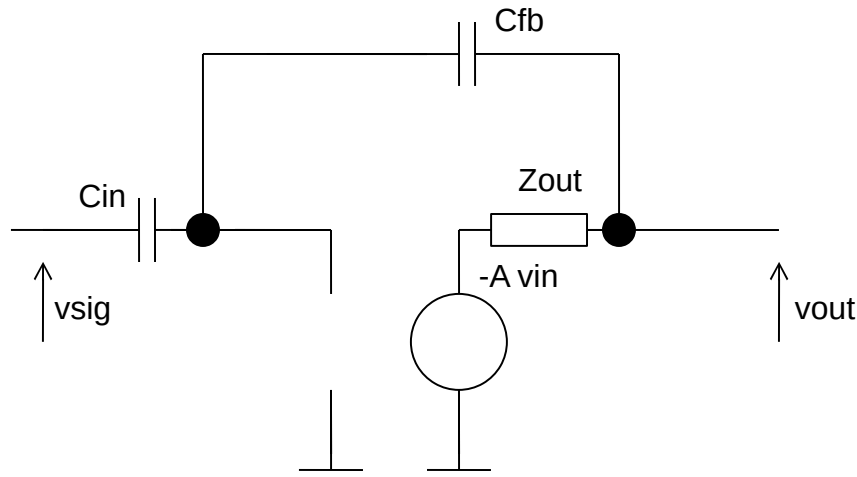
Figure 17.2 Changing the water height (pressure or voltage) into a water flow (current) using the float and valve. The delta comes from the difference in the number of cups we remove from the bucket with the water we add to the bucket. The sigma (sum) is the storage of the difference in the bucket.



Rückkopplung

Zusammenfassung Formel für RK

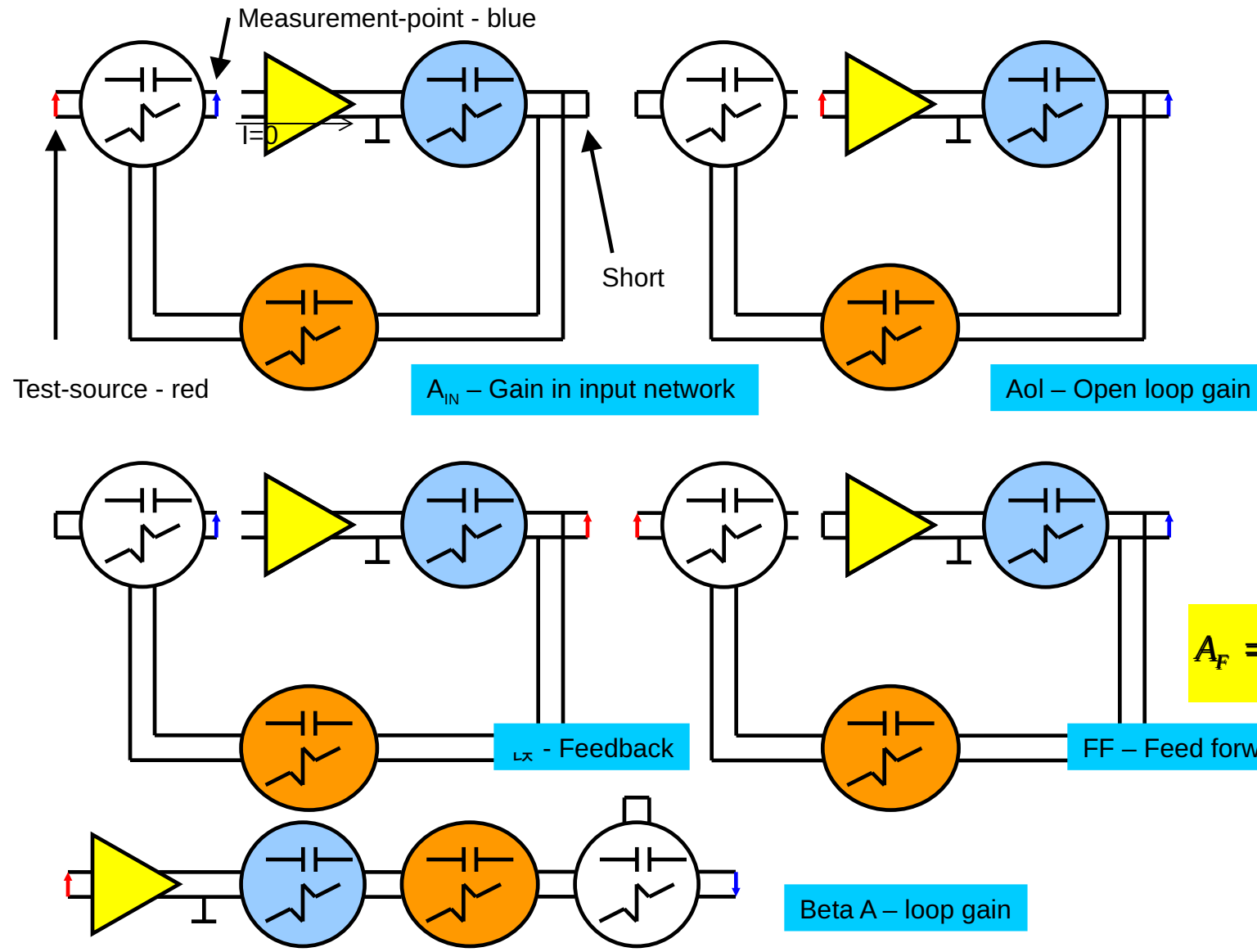
- A_f – Kreisverstärkung (Verstärkung mit RK)
- FF – feed forward (Vorwärtsverstärkung)
- A_{in} – Verstärkung im Addierer
- A_{OL} – open loop gain (Leerlaufverstärkung)
- bA – Schleifenverstärkung



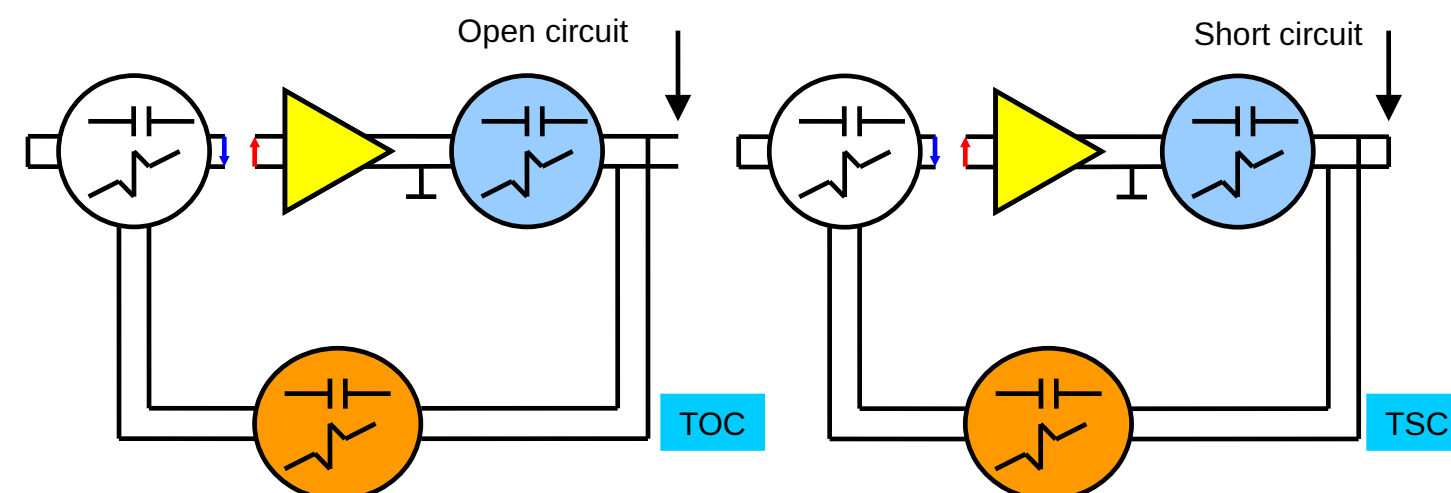
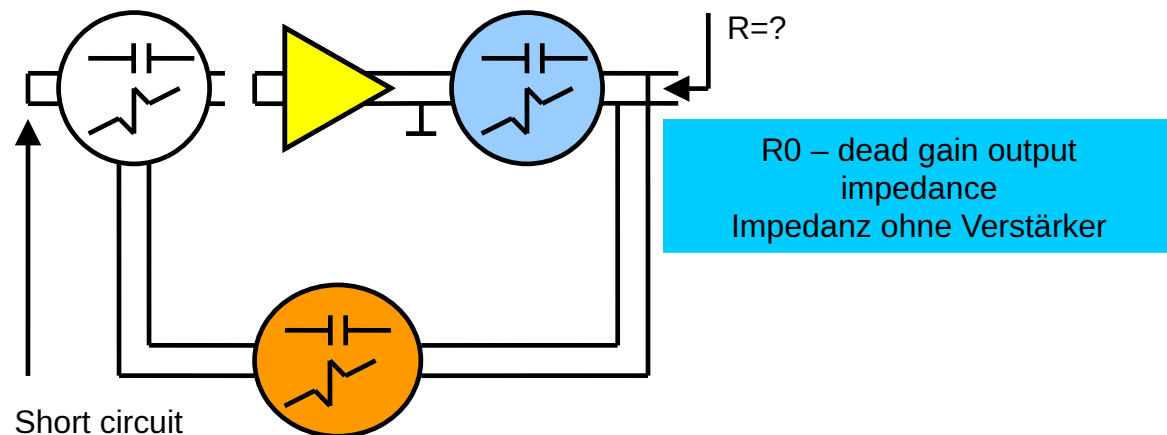
$$A_F \equiv \frac{v_o}{v_s} = \frac{FF + A_{IN} A_{OL}}{1 - \beta A}$$

$$\beta A = \beta \cdot A_{OL}$$

Verstärkung mit Rückkopplung



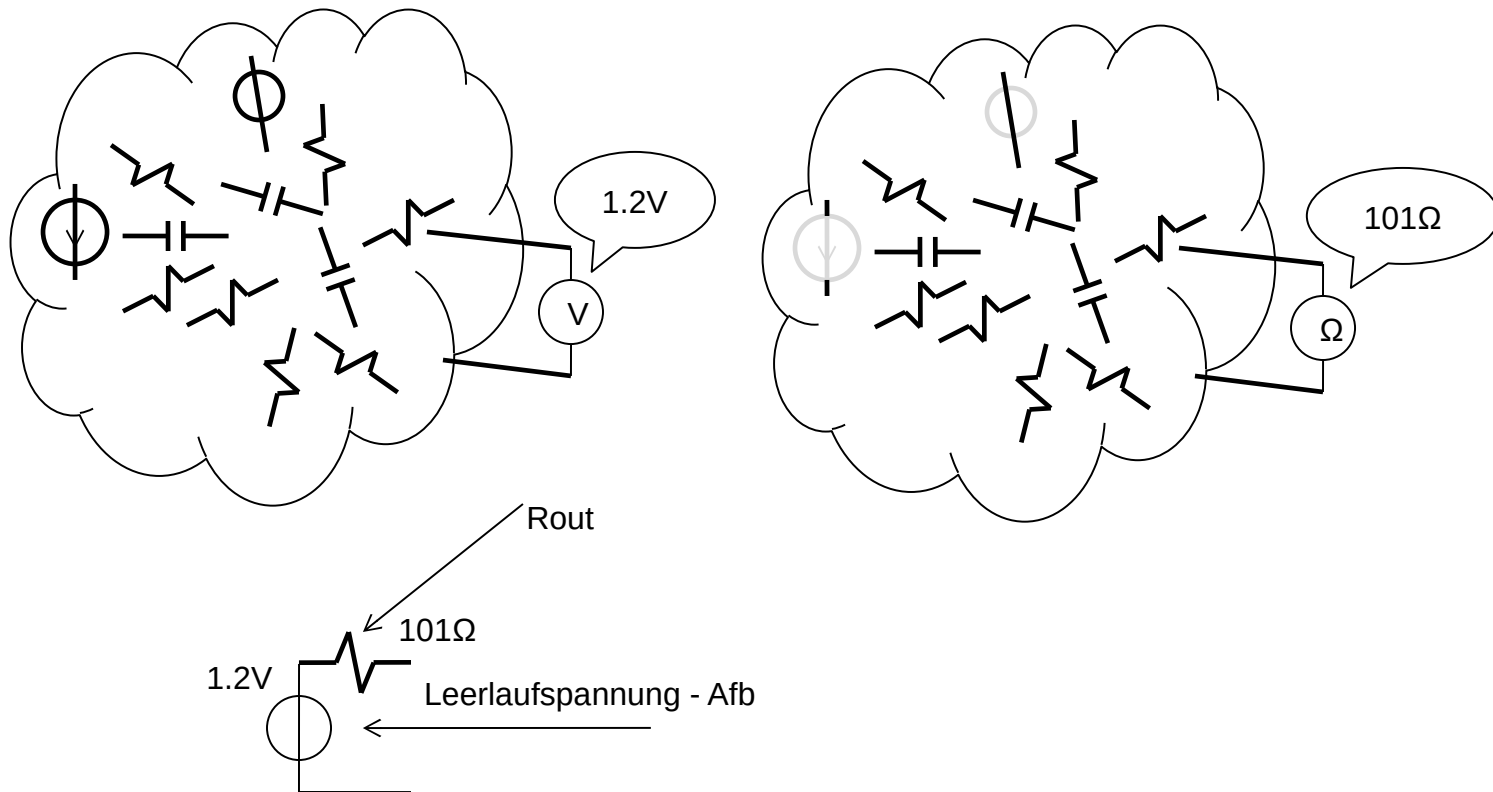
Impedanzen mit RK



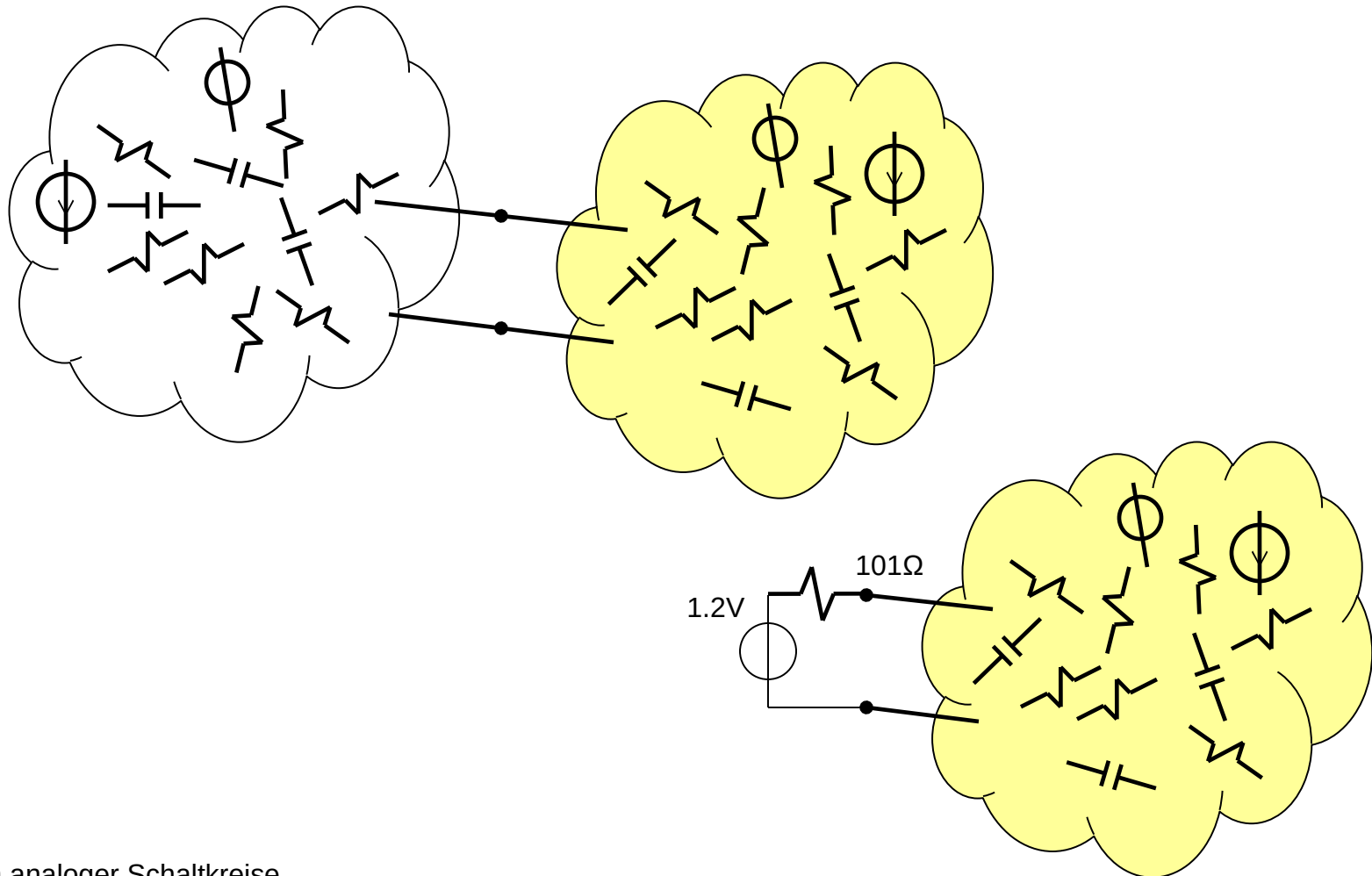
Loop gains

$$R_{\text{OUT}} = R_0 \frac{1 - \beta A_{\text{SC}}}{1 - \beta A_{\text{OC}}}$$

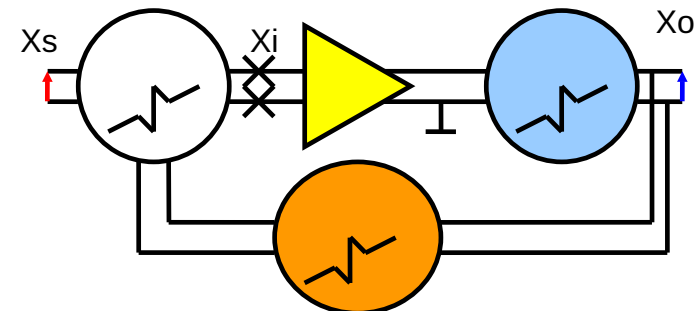
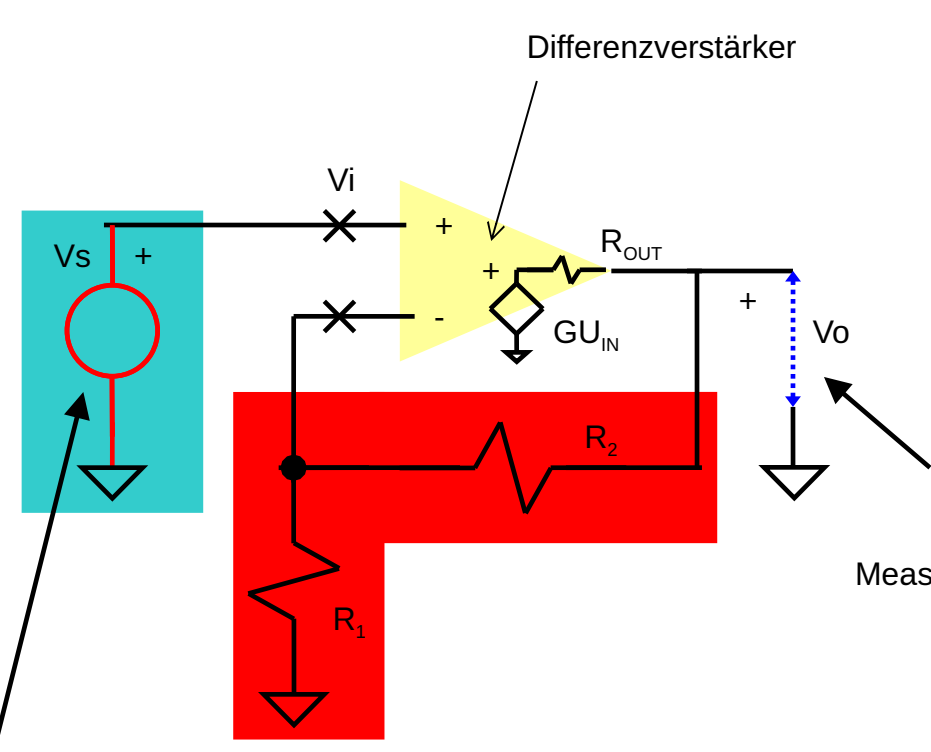
Thevenin Theorem



Thevenin Theorem



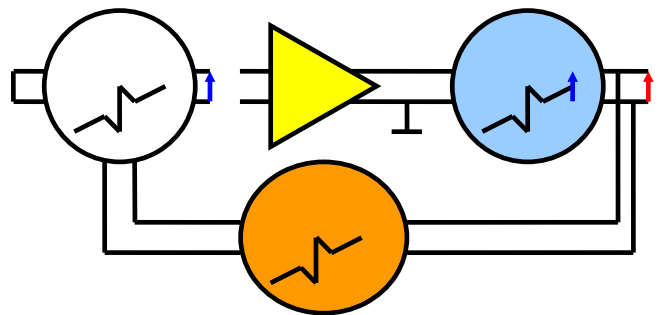
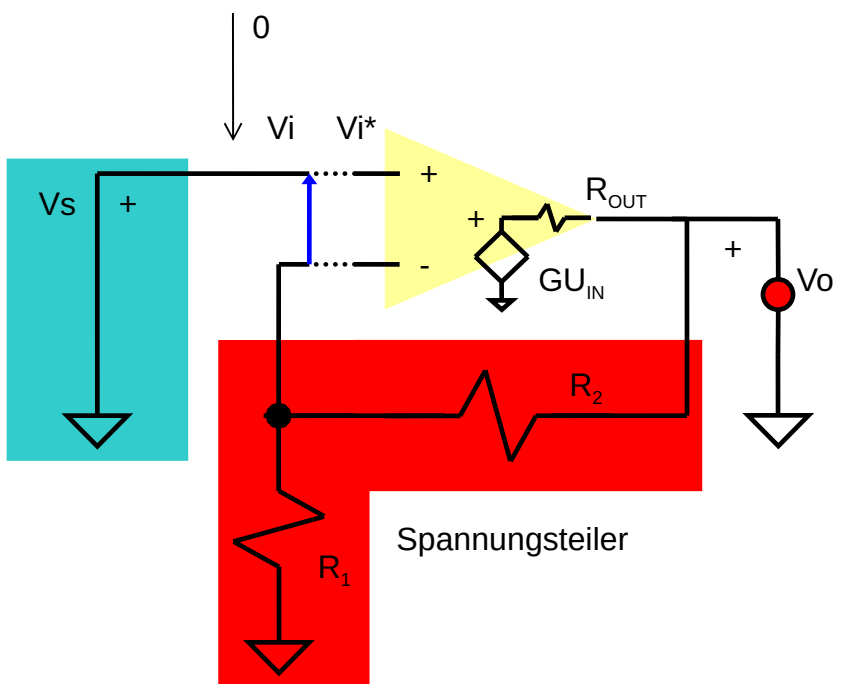
Noninverting amplifier



Measured signals are in blue

$$A_F = \frac{FF + A_{IN}A}{1 - \beta A} \rightarrow \frac{A_{IN}}{-\beta}$$

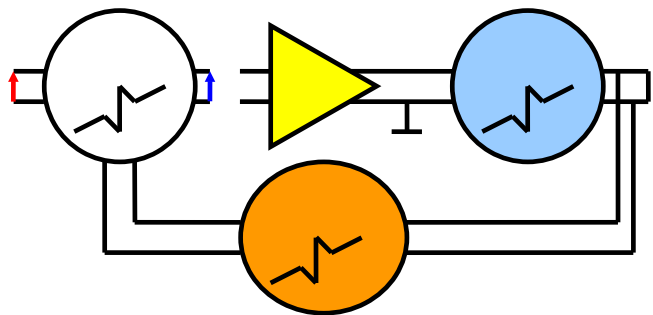
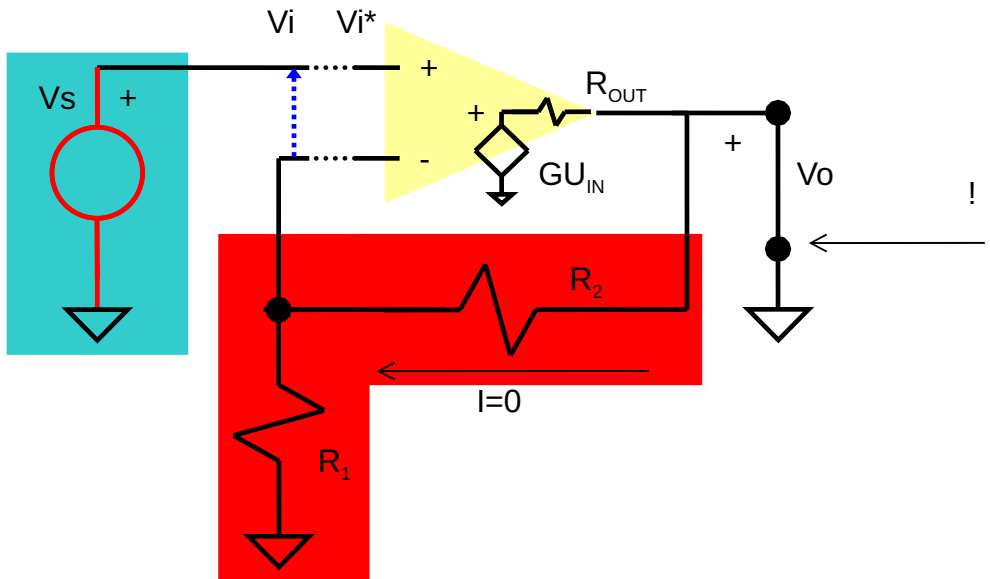
Noninverting amplifier - Feedback



$$\beta = -\left. \frac{V_i}{V_o} \right|_{V_s=0}$$

$$\beta = -\frac{R_1}{R_1 + R_2}$$

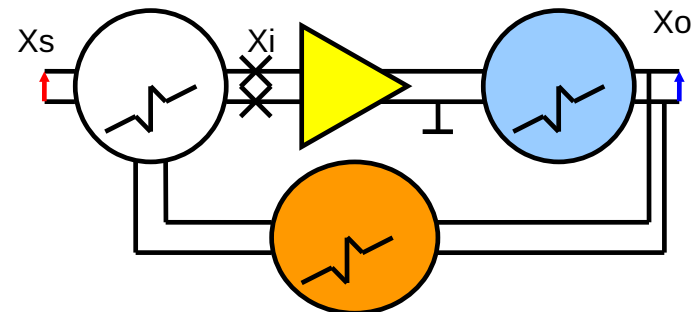
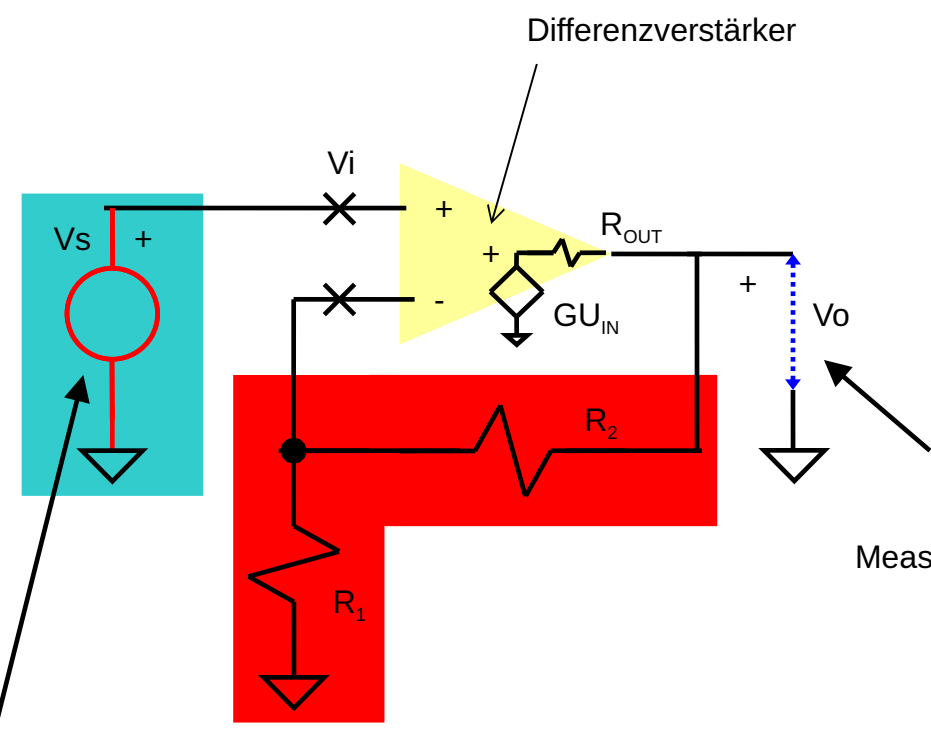
Input network gain



$$A_{IN} = \frac{V_i}{V_s} \Big|_{V_o=0}$$

$$A_{IN} = 1$$

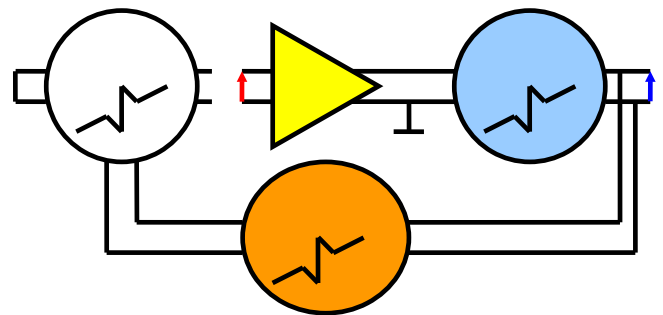
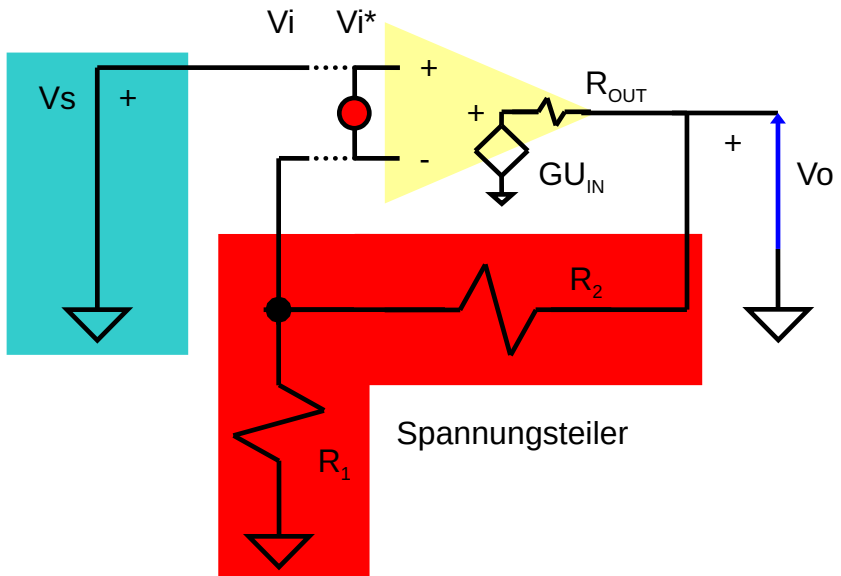
A_FB



Measured signals are in blue

$$A_F = \frac{FF + A_{IN}A}{1 - \beta A} \rightarrow \frac{A_{IN}}{-\beta} = \frac{R_1 + R_2}{R_1}$$

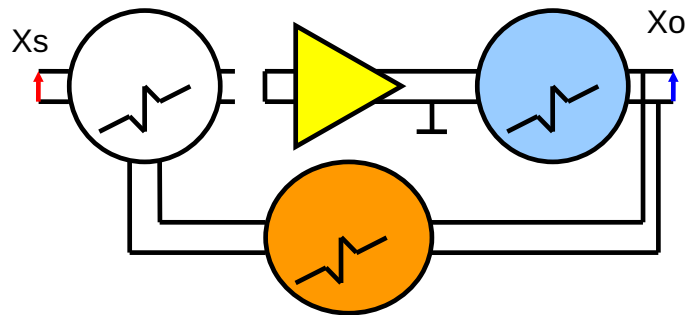
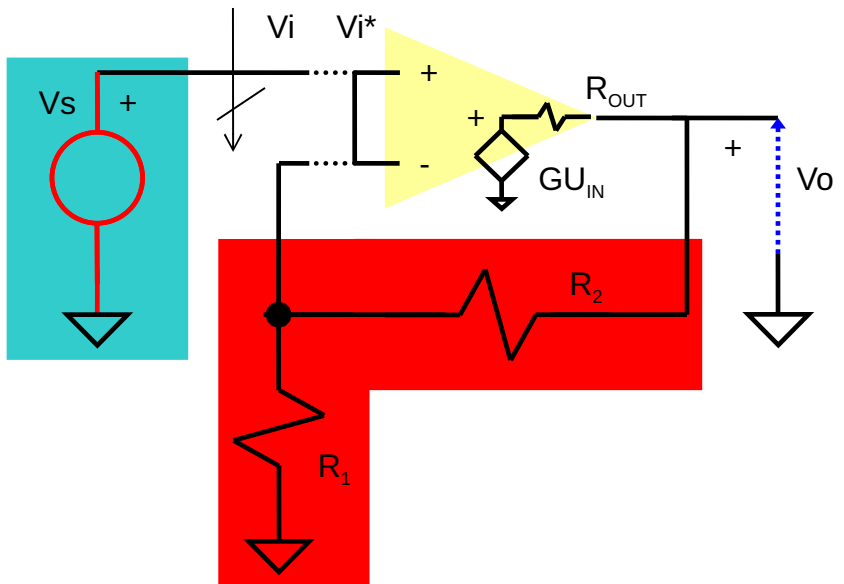
Open loop gain



$$A = \frac{V_o}{V_i^*} \Big|_{V_s=0}$$

$$A = G \frac{R_1 + R_2}{R_1 + R_2 + R_{OUT}}$$

Feed forward

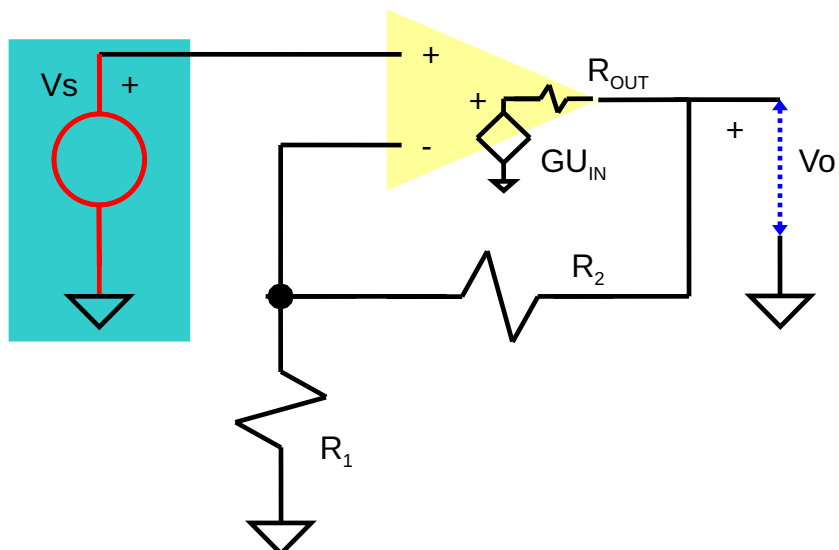


$$FF = \frac{V_o}{V_s} \Big|_{V_i^* = 0}$$

$$FF = 0$$

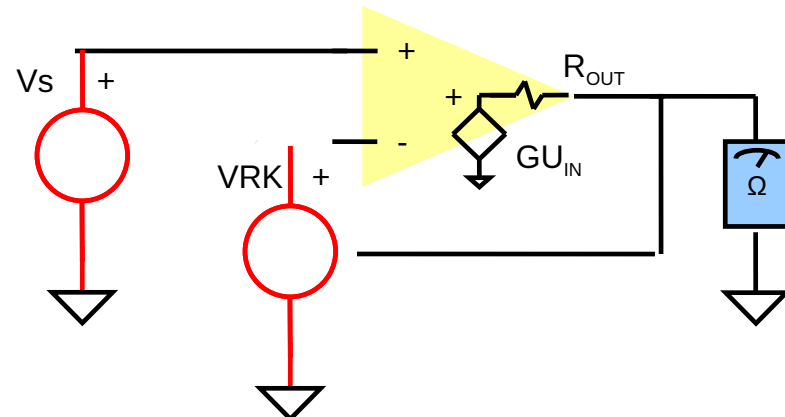
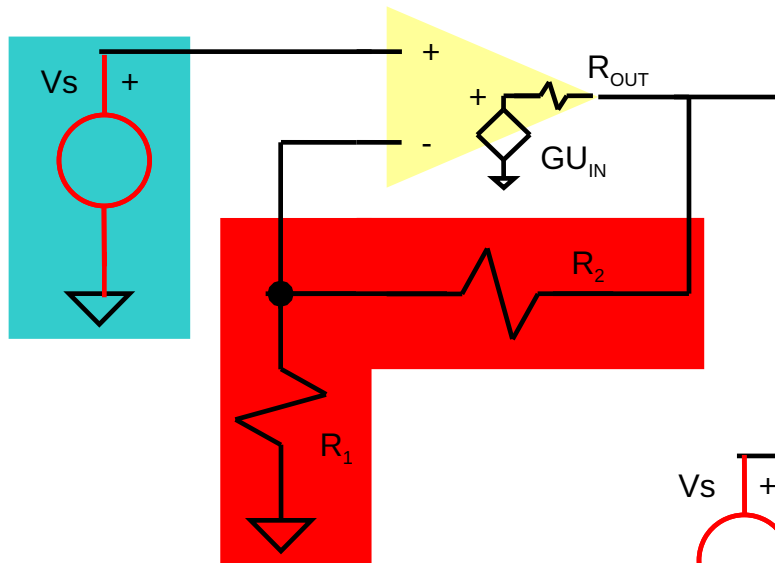
Gain with feedback

$$A_F \equiv \frac{X_O}{X_S} = \frac{FF + A_{IN}A}{1 - \beta A} = \frac{\frac{R_1 + R_2}{R_1 + R_2 + R_{OUT}} G}{1 + \frac{R_1 + R_2}{R_1 + R_2 + R_{OUT}} \frac{R_1}{R_1 + R_2} G} \approx \frac{R_1 + R_2}{R_1}$$

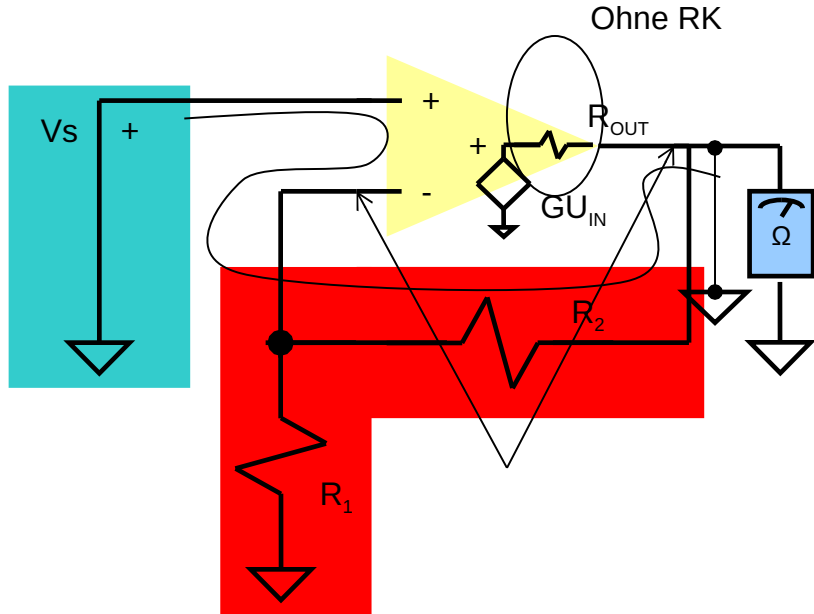


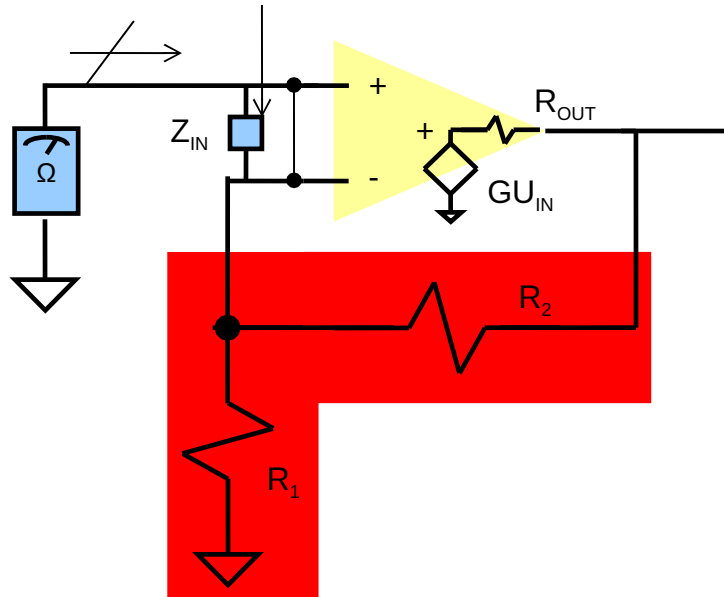
Non-inverting amplifier output resistance

Impedanzen mit RK

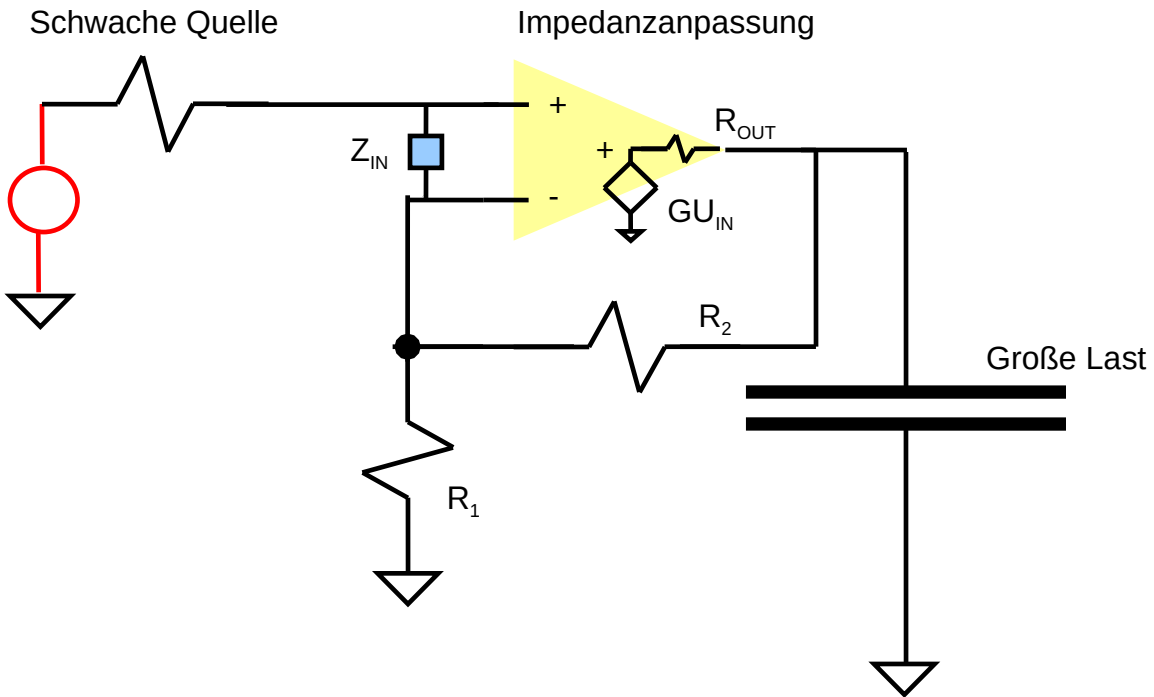


Rout mit RK

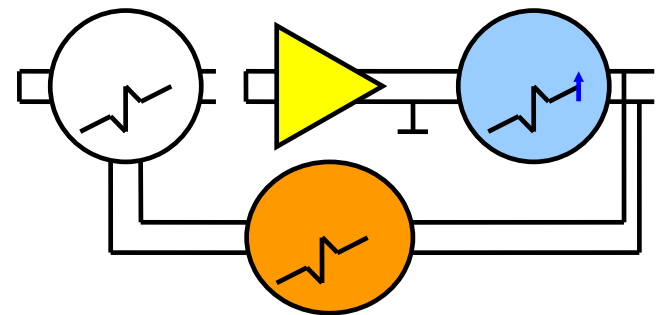
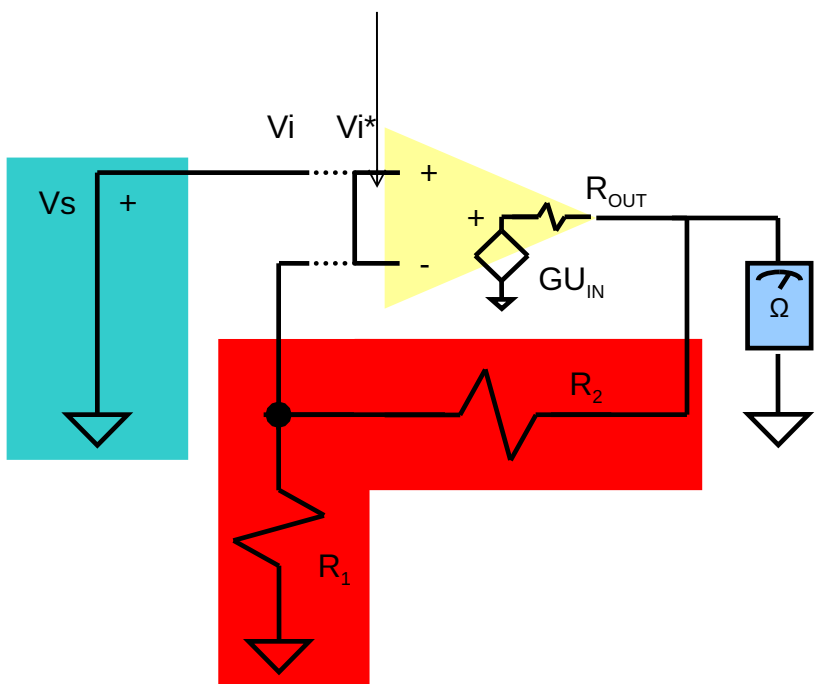




Impedanzanpassung

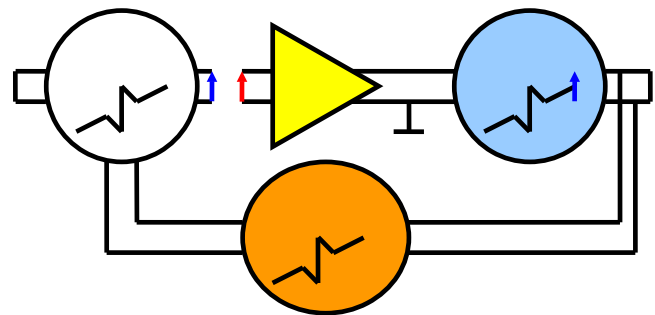
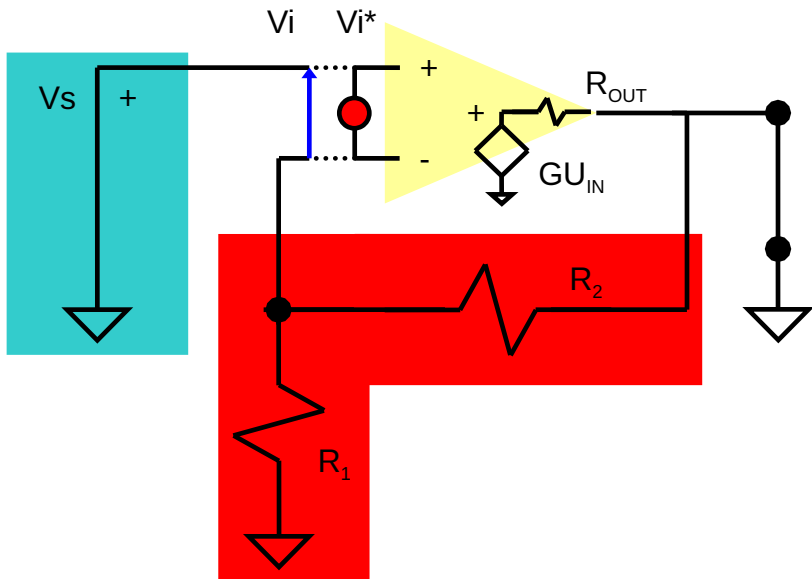


R_{OUT} without amplifier



$$R_{OUT\ 0} = R_{OUT} \parallel (R_1 + R_2)$$

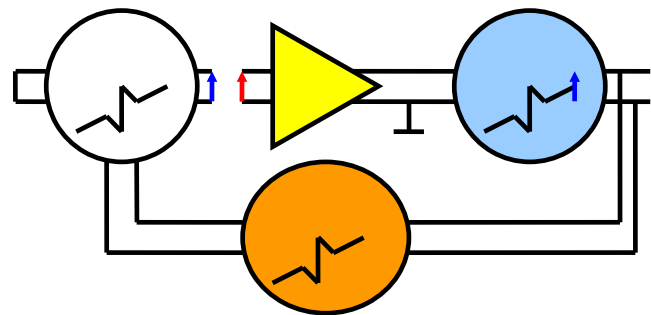
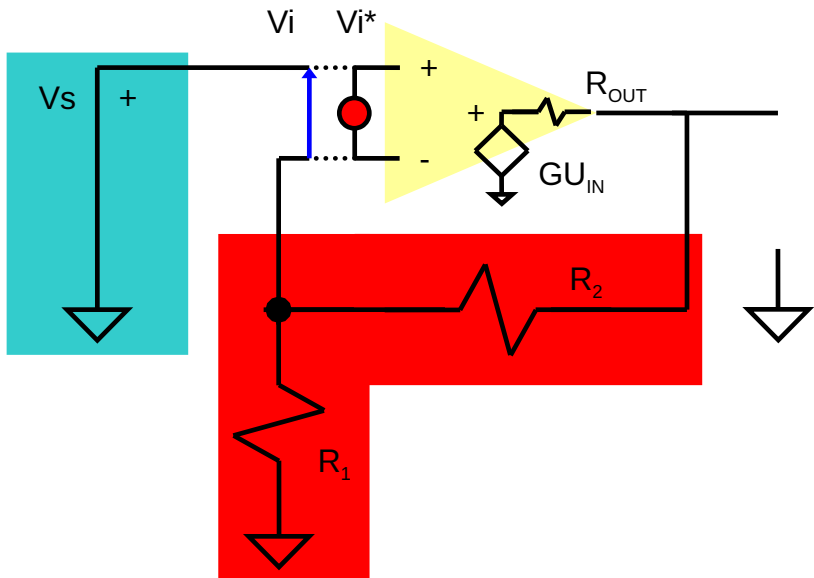
Short-circuit loop gain



$$\beta A_{sc} = -\frac{V_i}{V_i^*} \Big|_{V_s=0}$$

$$\beta A_{sc} = 0$$

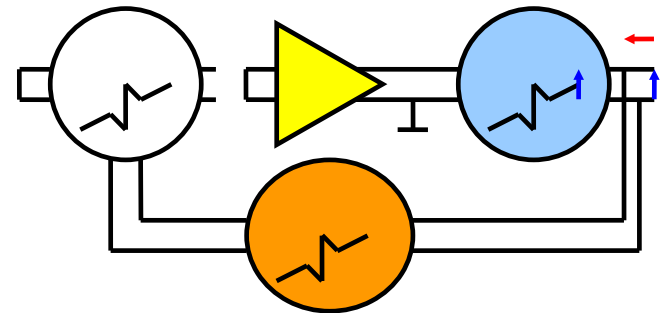
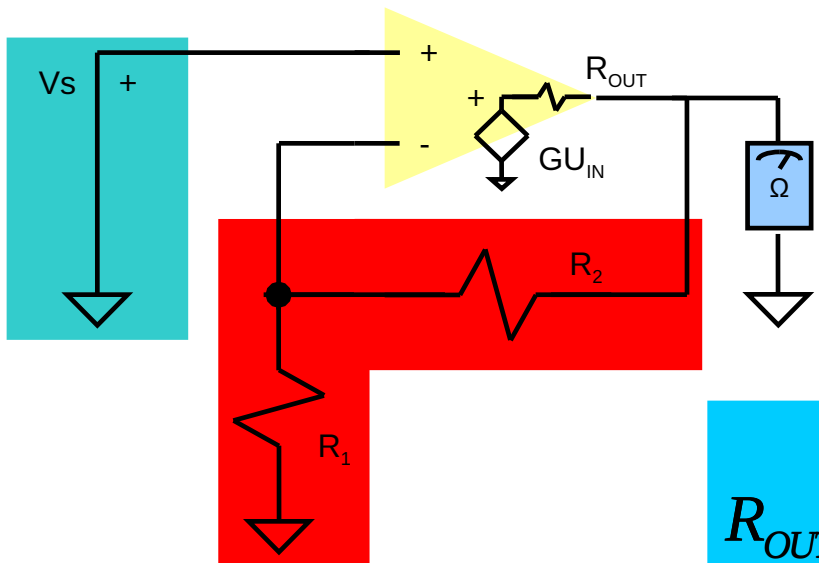
Open-circuit loop gain



$$\beta A_{oc} = - \frac{V_i}{V_i^*} \Big|_{V_s=0}$$

$$\beta A_{oc} = - G \frac{R_1}{R_1 + R_2 + R_{OUT}}$$

R_{OUT} with feedback



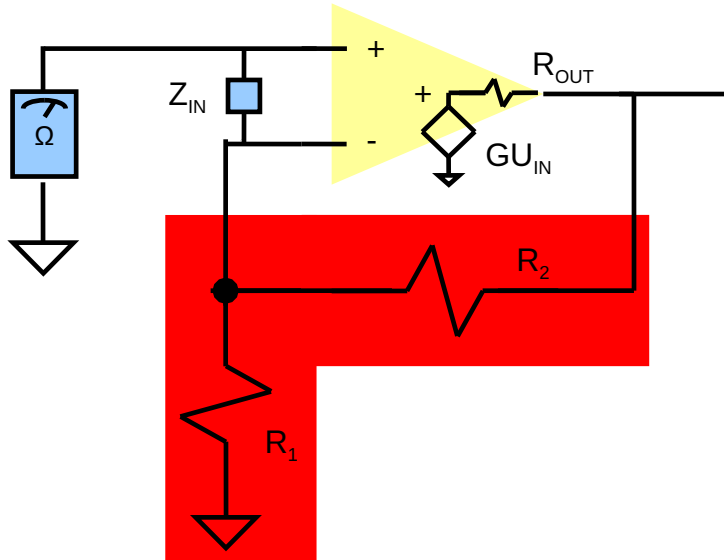
$$R_{OUTFB} = \frac{R_{OUT} \parallel (R_1 + R_2)}{1 + G \frac{R_1}{R_1 + R_2 + R_{OUT}}} < R_{OUT}$$

$$R_{OUT} < R_1, R_2$$

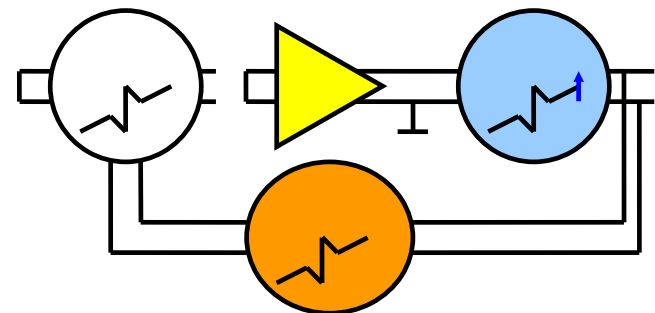
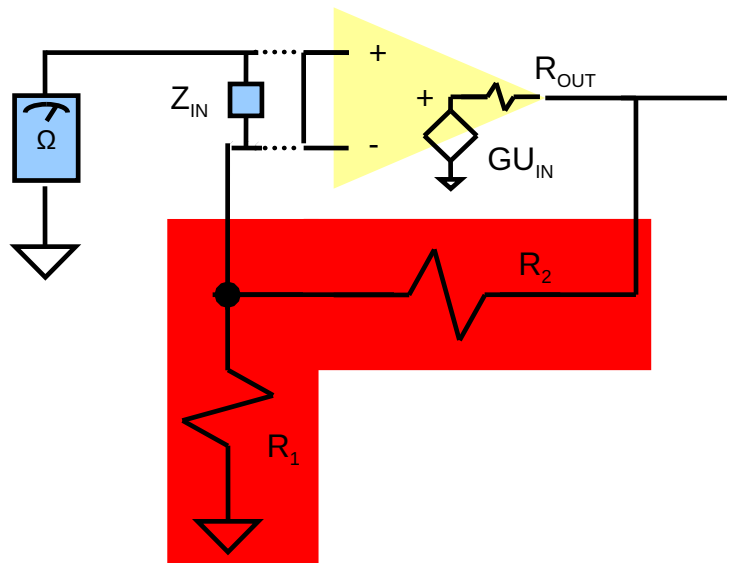
$$R_{OUTFB} \sim \frac{R_{OUT}}{G\beta} \quad 10,100 \text{ für präzise Verstärkung}$$

Non-inverting amplifier input resistance

Z_{IN} with feedback



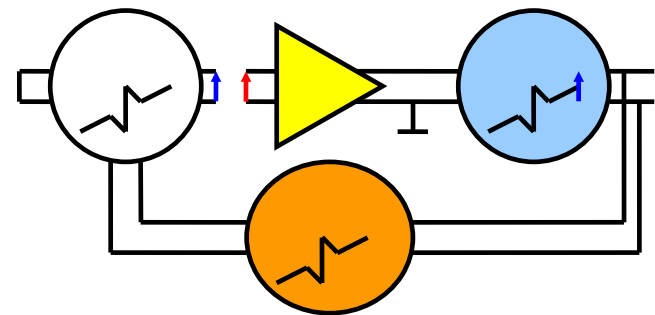
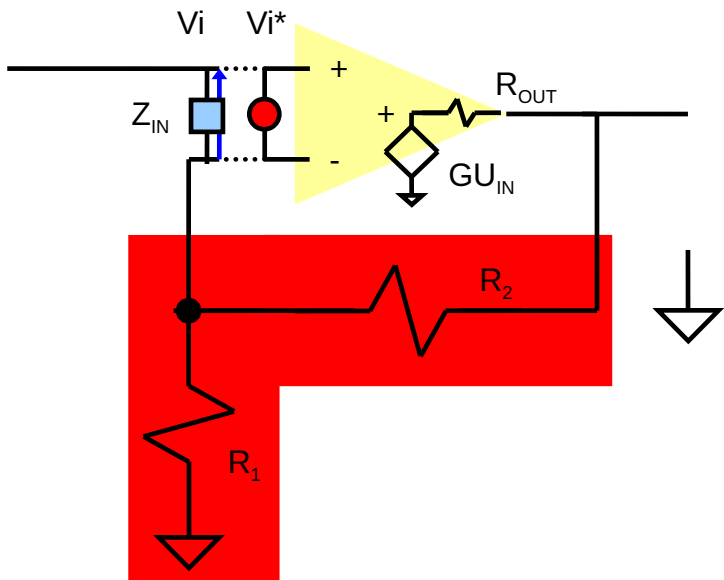
Z_{IN} without amplifier



Annahme Z_{IN} klein

$$Z_{IN0} = Z_{IN} + (R_1 \parallel R_2) \sim R_1 \parallel R_2$$

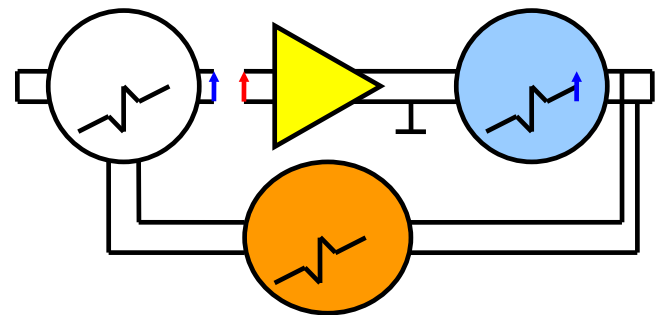
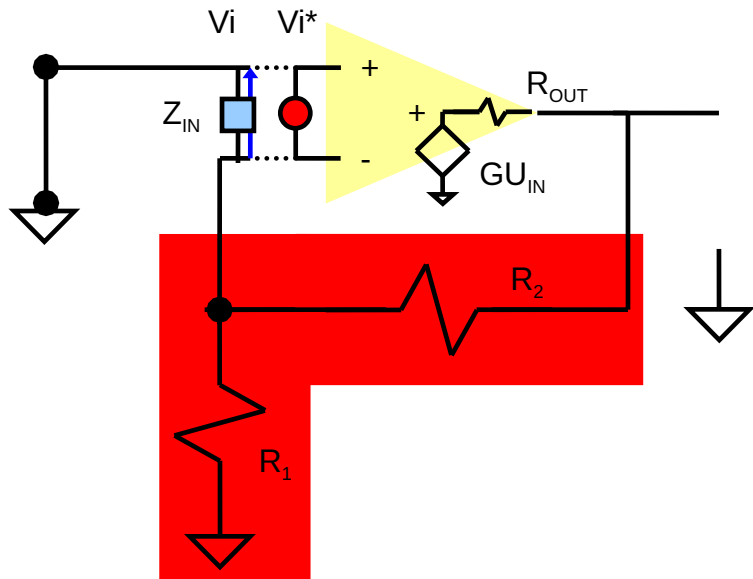
Open-circuit loop gain



$$\beta A_{oc} = - \frac{V_i}{V_i^*} \Big|_{V_s=0}$$

$$\beta A_{oc} = 0$$

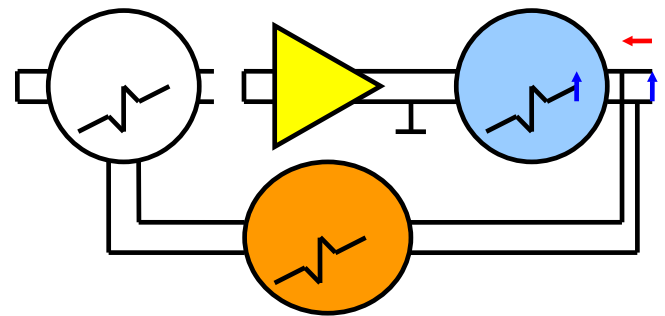
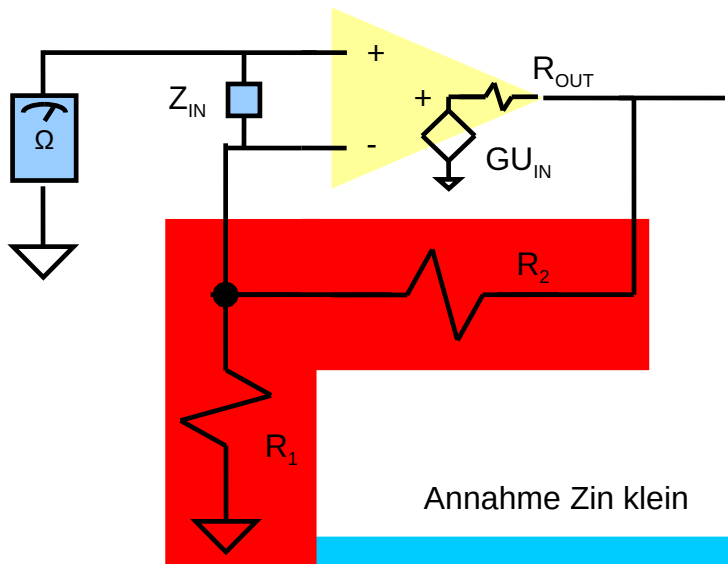
Short-circuit loop gain



$$\beta A_{sc} = - \frac{V_i}{V_i^*} \Big|_{V_s=0}$$

$$\beta A_{oc} \sim - G \frac{R_1 \parallel R_{IN}}{R_1 \parallel R_{IN} + R_2}$$

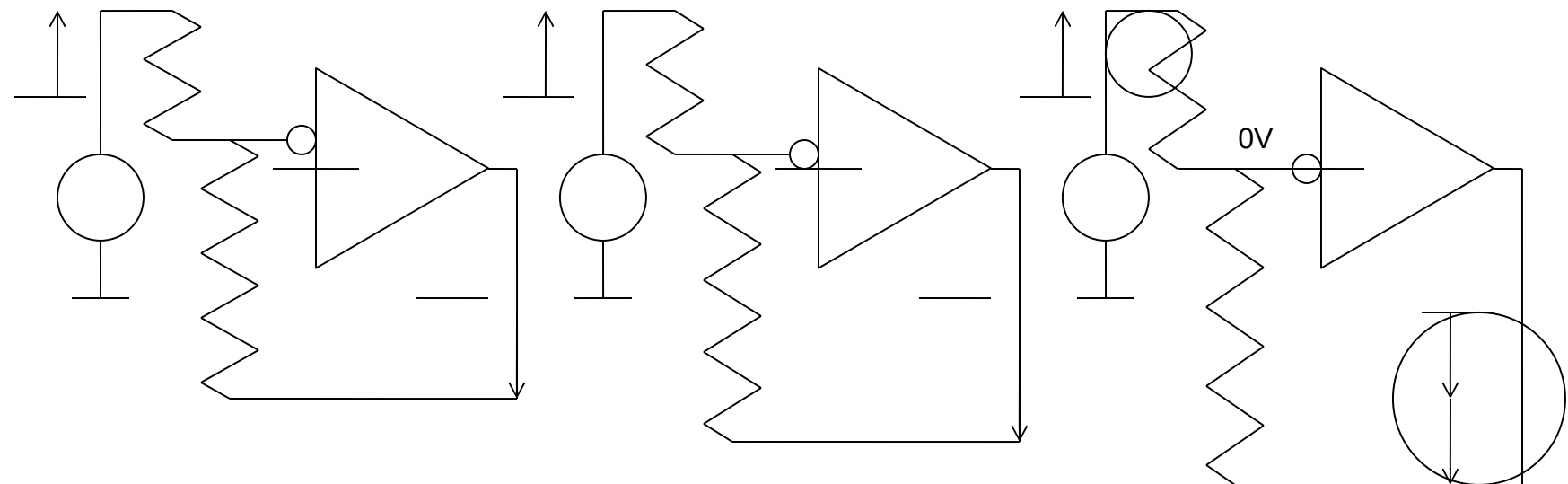
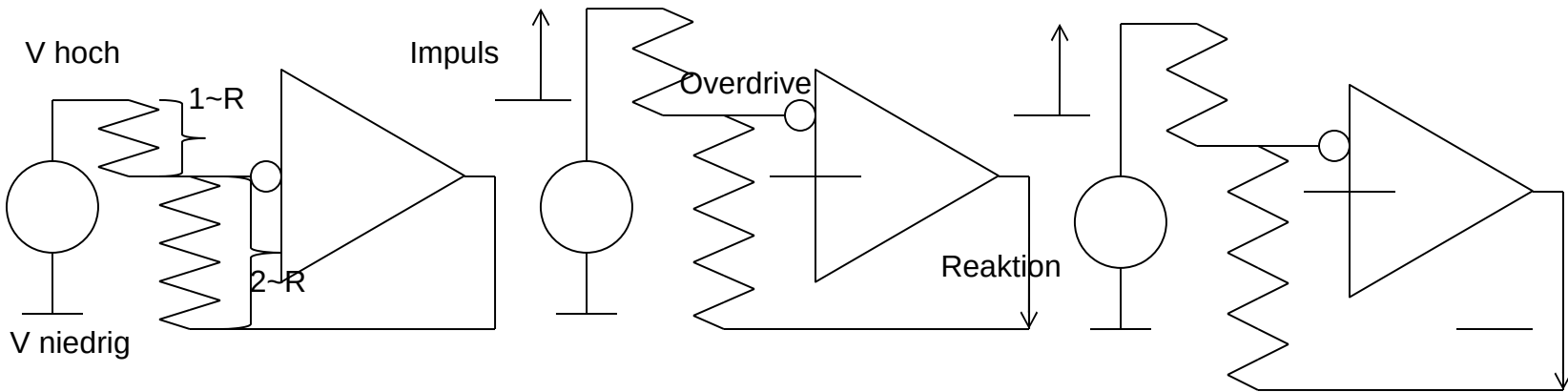
Z_{IN} with feedback



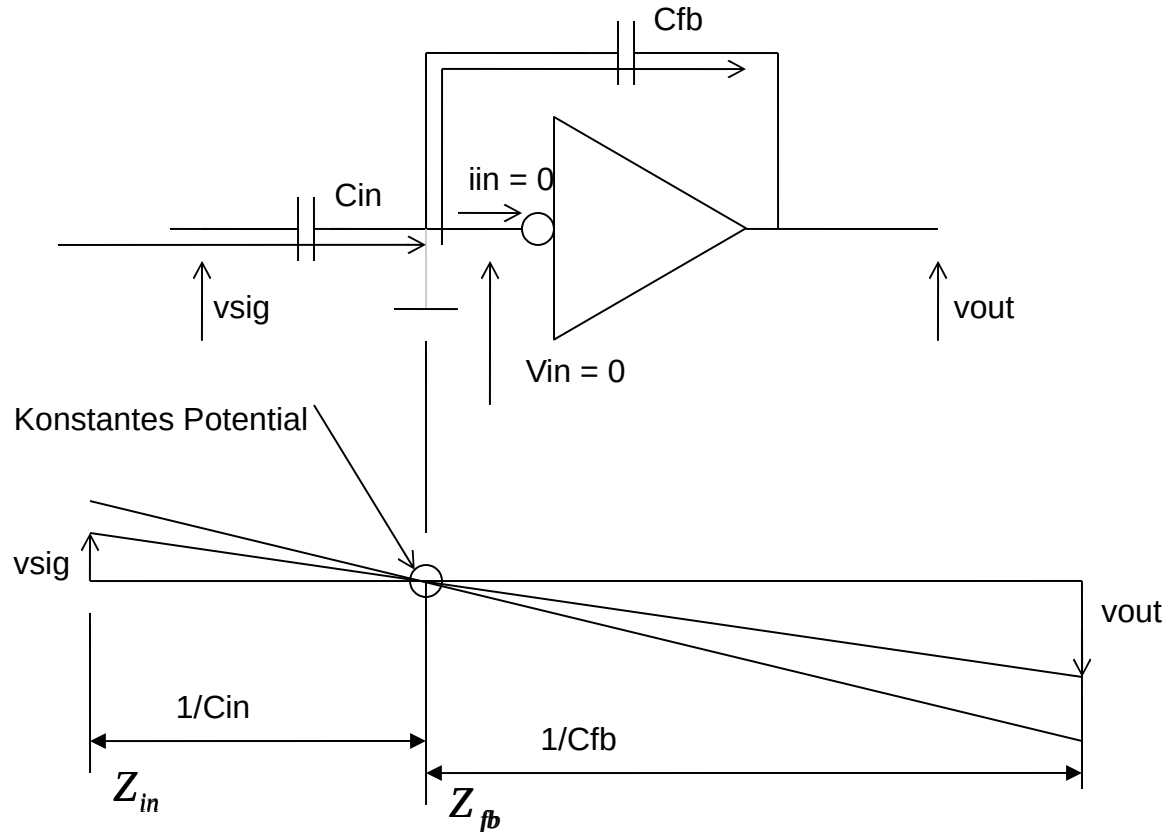
$$Z_{INFB} \approx R_1 \parallel R_2 \left(1 + G \frac{Z_{IN}}{R_2}\right) = \frac{R_1}{R_1 + R_2} G Z_{IN} \gg Z_{IN}$$

Beta A

- Die Verstärkung mit Gegenkopplung ist nur durch die Stärke der Gegenkopplung bestimmt

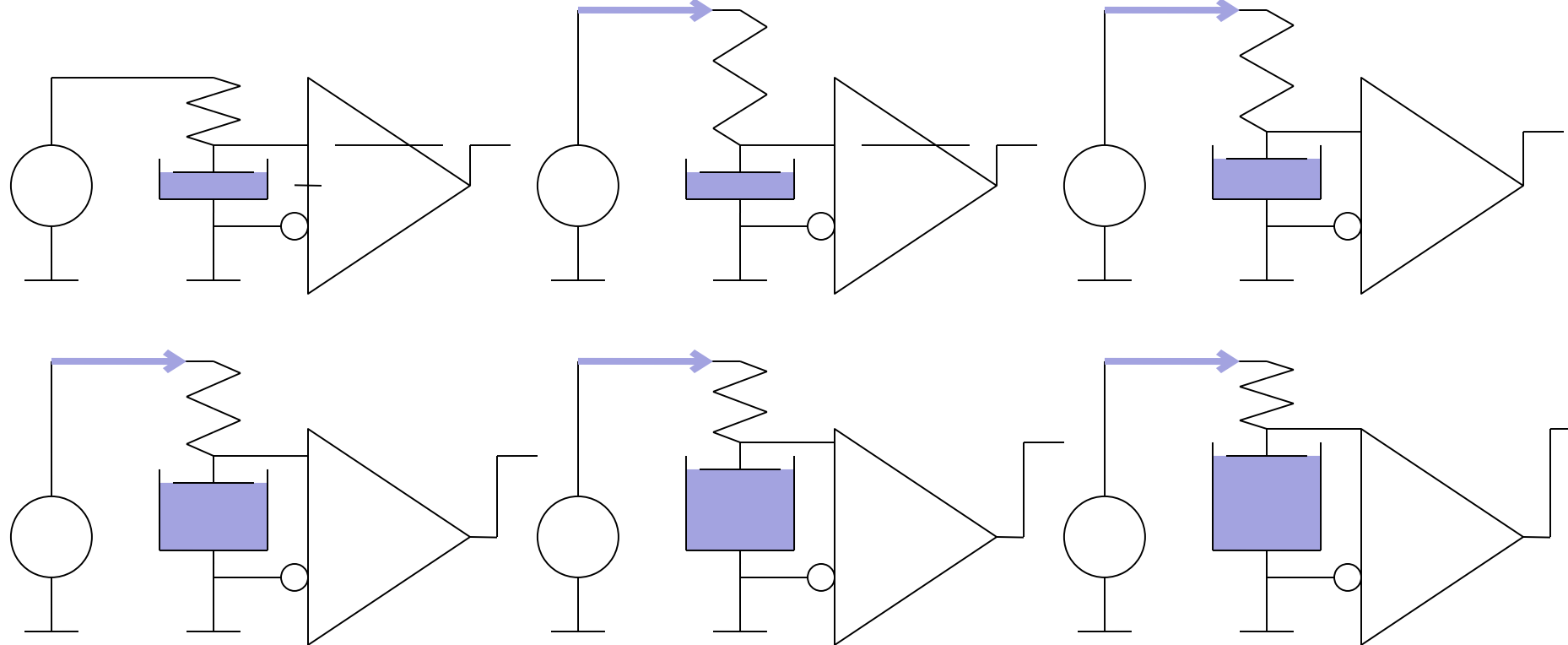
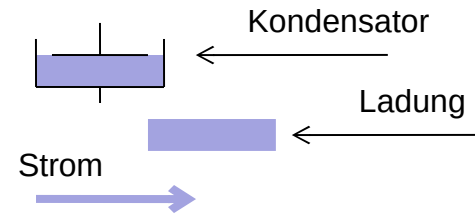


- Virtuelle Masse am Eingang des Verstärkers



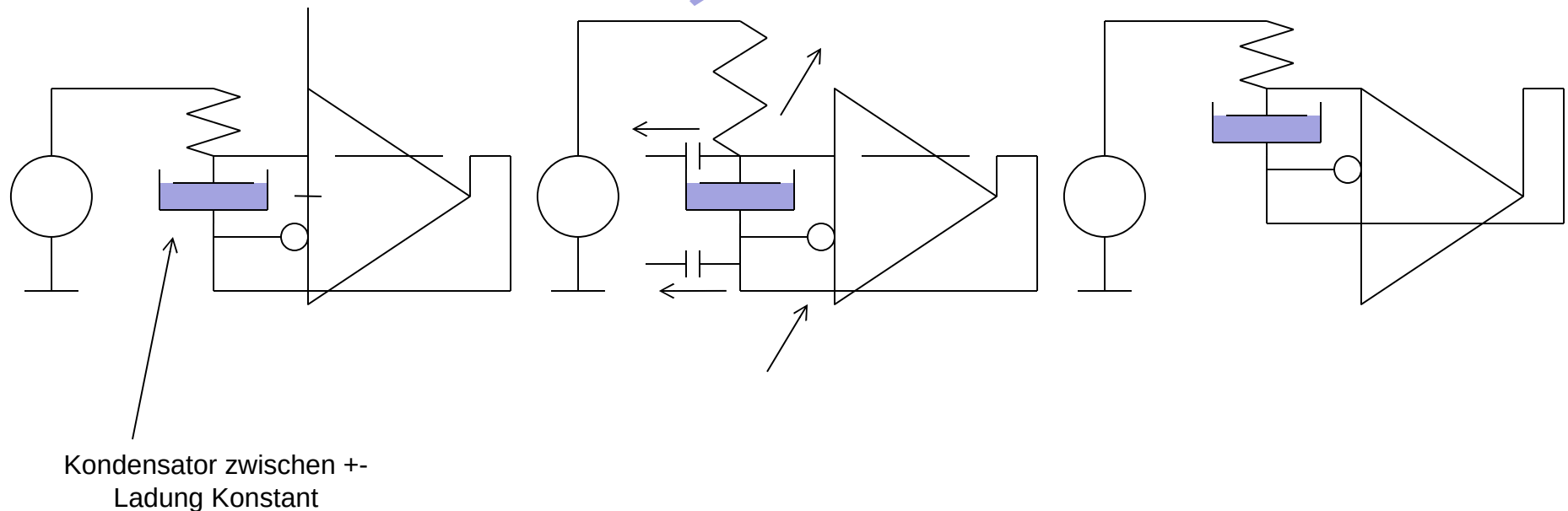
Eingangsimpedanz ohne RK

- Eingangsimpedanz ohne RK



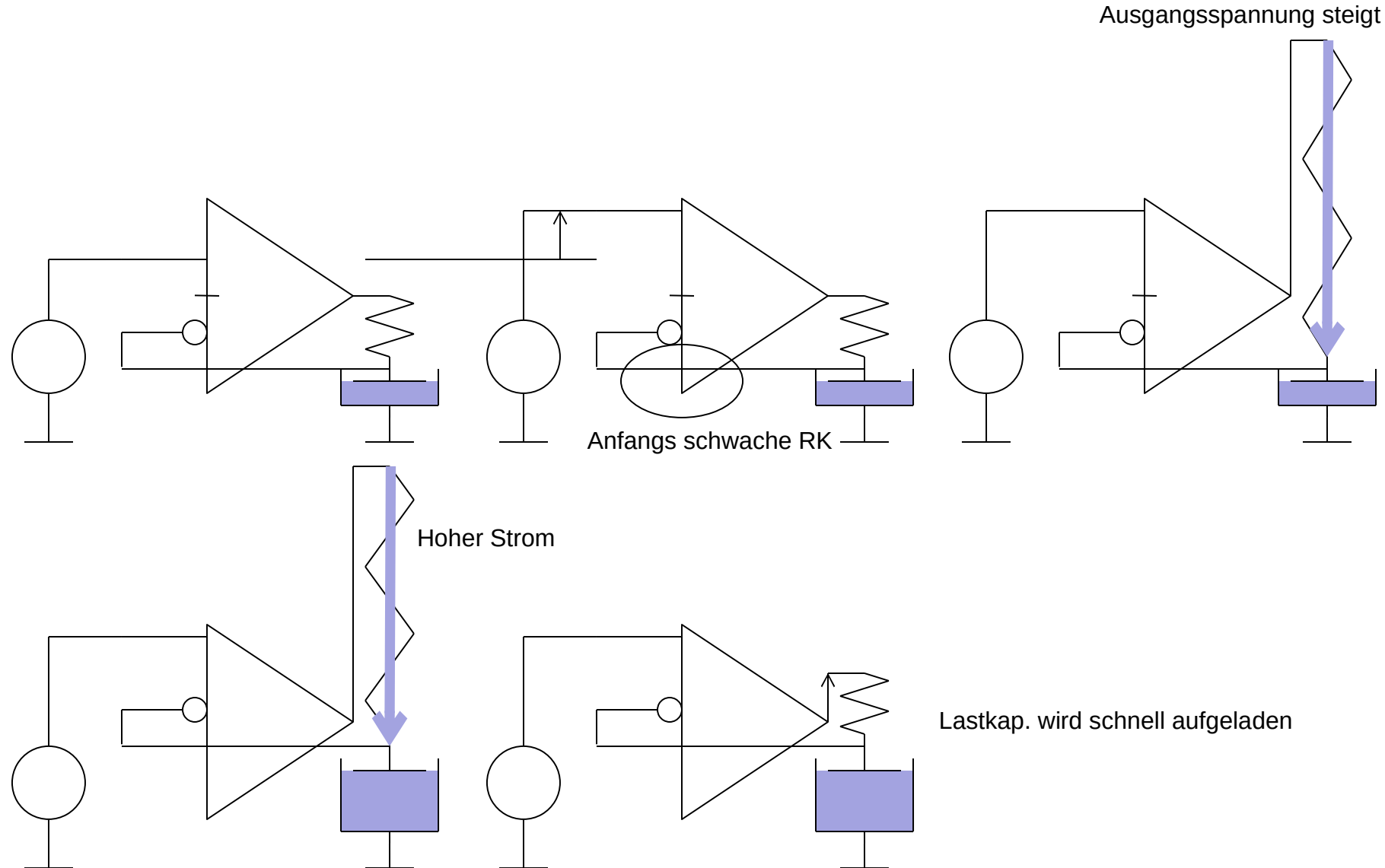
Eingangsimpedanz mit RK

- Eingangsimpedanz mit RK



Ausgangsimpedanz

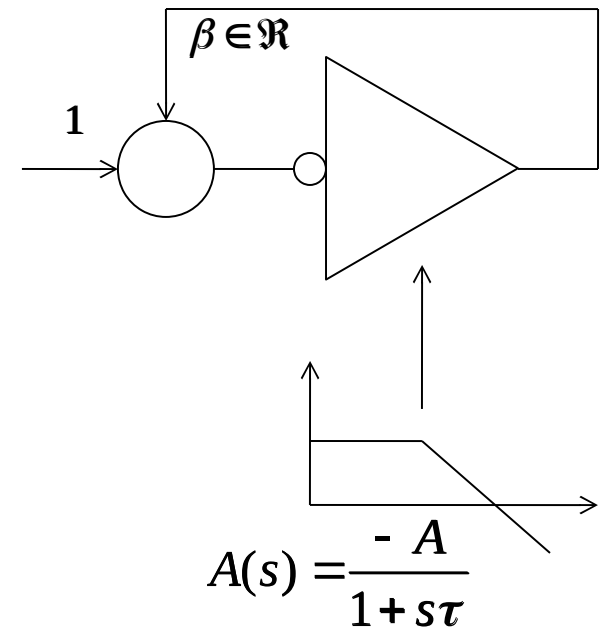
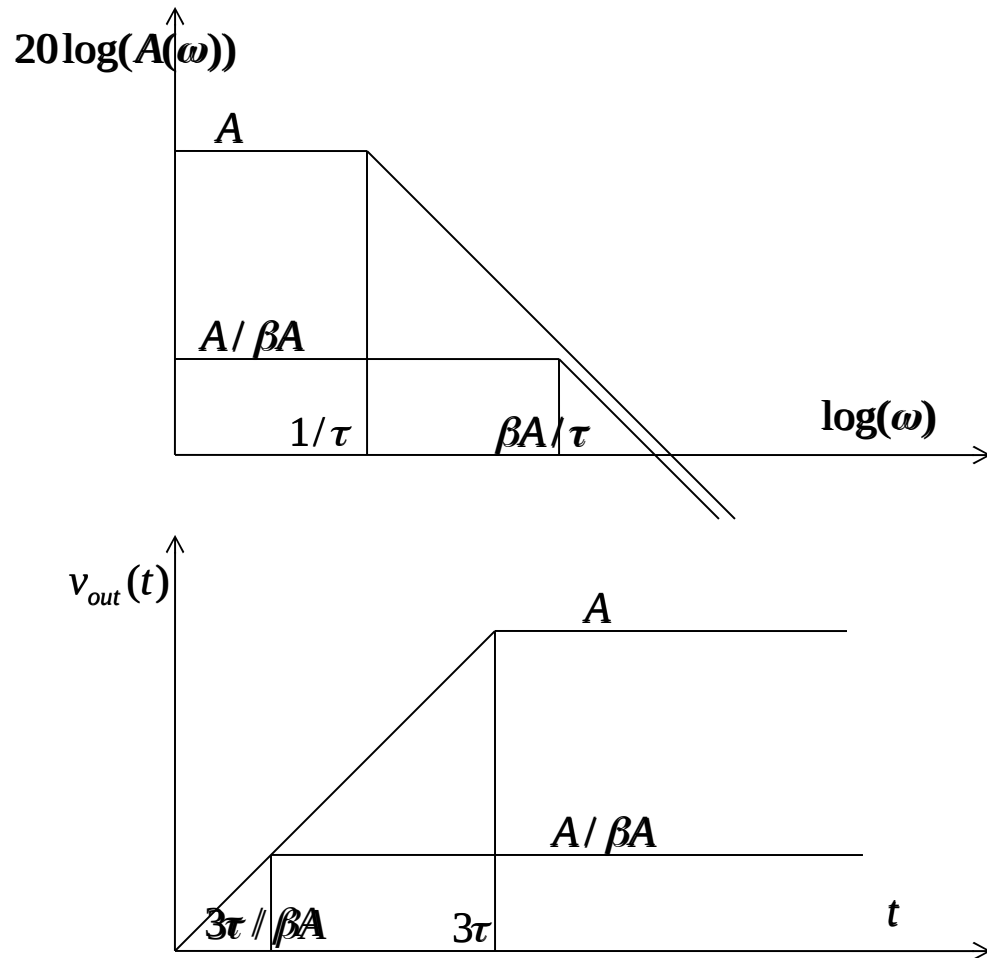
- Ausgangsimpedanz mit RK



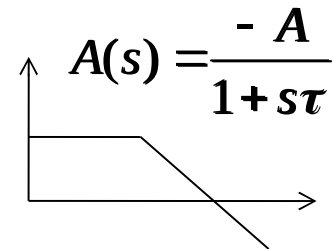
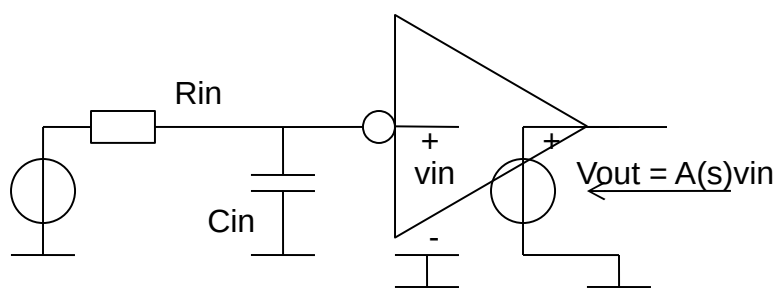
Integrator

RK und Zeitkonstanten

- Einfluss von RK: Zeitkonstante wird kleiner

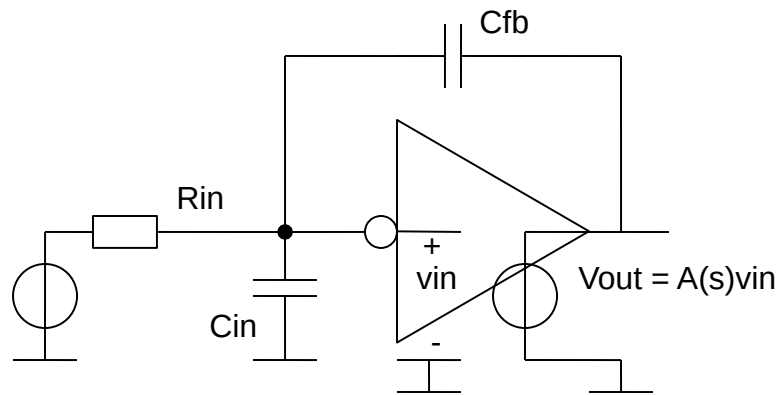


- Anfang: Verstärker ohne RK



$$H(s) = -\frac{1}{(1+sR_{IN}C_{IN})(1+s\tau)}A$$

- Verstärker mit kapazitiver RK



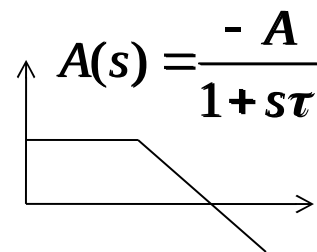
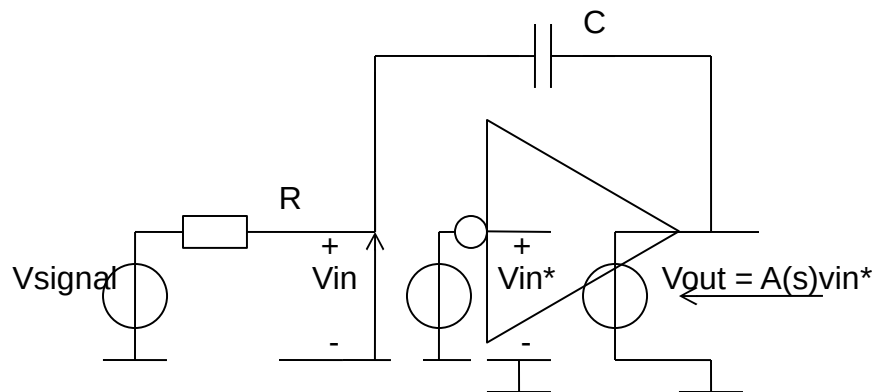
$$H(s) = -\frac{1}{(1+s\tau_1)(1+s\tau_2)}A$$

- Feedback Analyse

$$A_{OL} = A(s)$$

$$A_{IN} = \frac{1}{1 + sRC}$$

$$\beta A = \frac{sRC}{1 + sRC} A_{OL} = \frac{sRC}{1 + sRC} A(s)$$

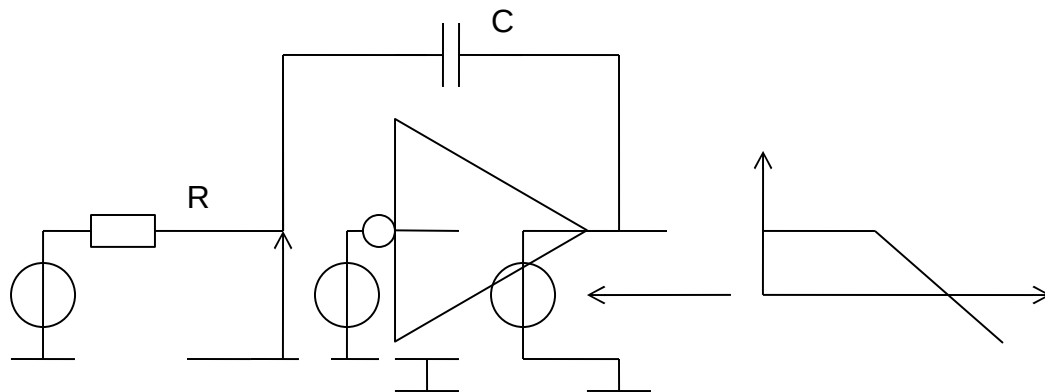


$$H(s) = -\frac{1}{(1 + s\tau_1)(1 + s\tau_2)} A$$

Feedback-Analyse (2)

- Verstärkung mit RK

$$A_{FB} = \frac{A_{IN} A_{OL}}{1 + \beta A_{OL}} = \frac{A(s) \frac{1}{1 + sRC}}{1 - A(s) \frac{sRC}{1 + sRC}}$$



$$A_{FB} = \frac{-\frac{A}{1 + s\tau} \frac{1}{1 + sRC}}{1 + \frac{A}{1 + s\tau} \frac{sRC}{1 + sRC}}$$

Feedback-Analyse (3)

- Zeikonstanten

$$A_{FB} = \frac{-\frac{A}{1+s\tau} \frac{1}{1+sRC}}{1 + \frac{A}{1+s\tau} \frac{sRC}{1+sRC}}$$

\longrightarrow

$$A_{FB} = \frac{-A}{(1+s\tau)(1+sRC) + sARC}$$



$$A_{FB} = \frac{-A}{1+s\tau + sRC + sARC + s^2RC\tau}$$

klein klein Groß Groß für HF

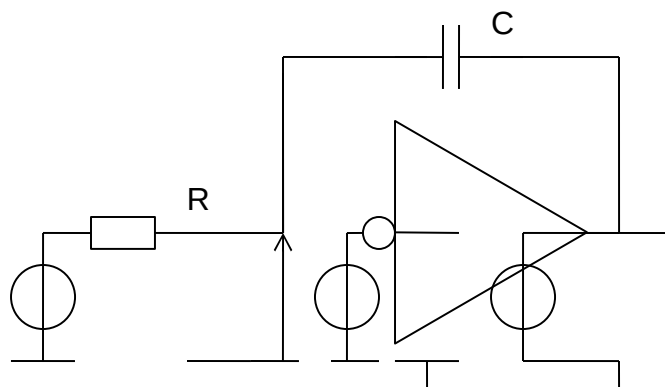
$$A_{FB} = \frac{-A}{1+sARC + s^2RC\tau}$$



$$A_{FB} = \frac{-A}{(1+sARC)(1+s\frac{\tau}{A})}$$

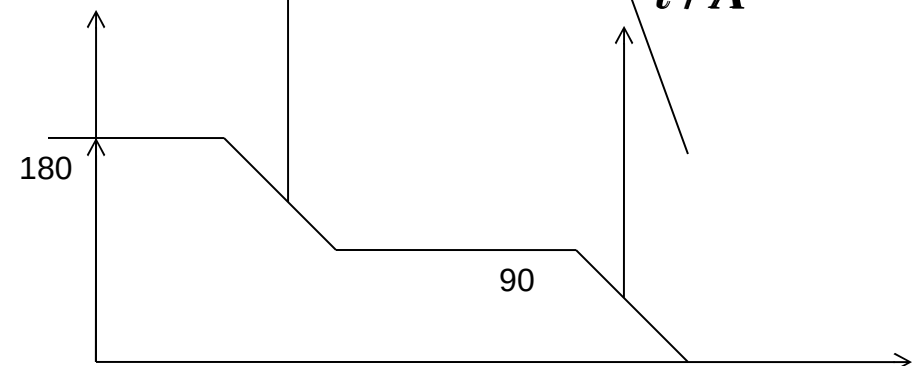
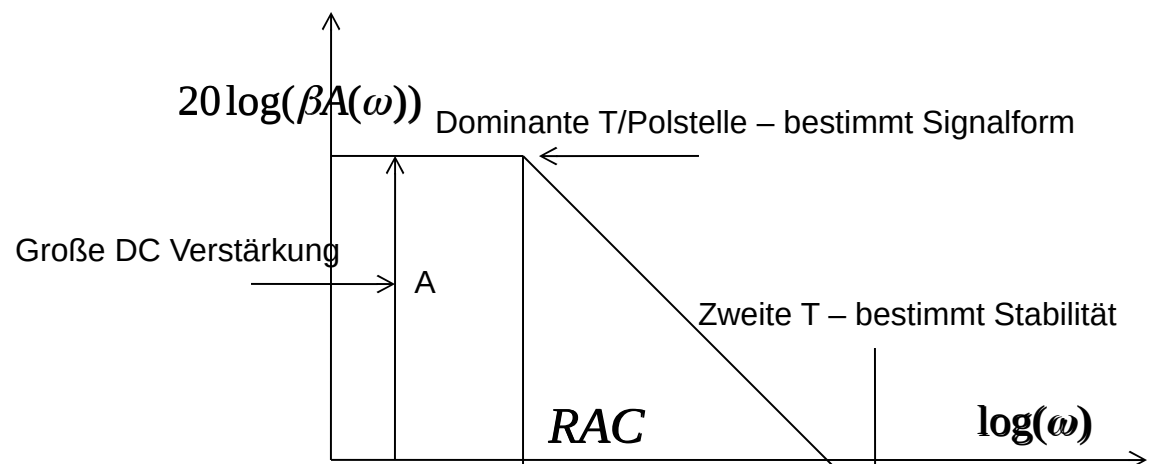
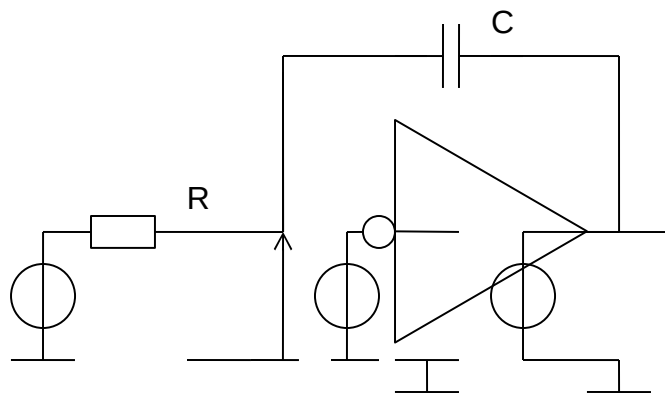
Große T-Const

Kleiner als ohne RK



Bode Diagramm

- Zeitkonstanten

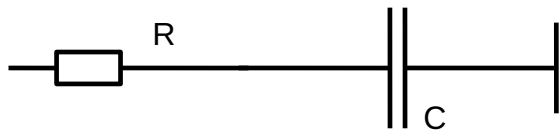


$$A_{FB} = \frac{-A}{(1 + sRAC)(1 + s\frac{\tau}{A})}$$

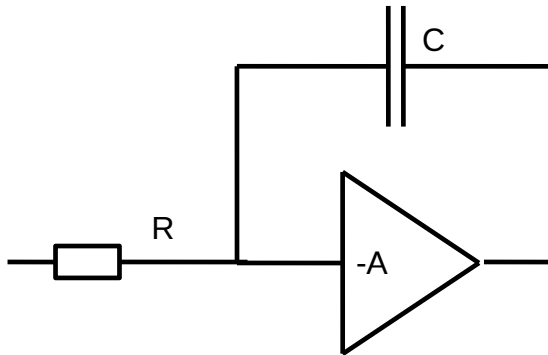
Große T-Const

Kleiner als ohne RK

Multiplikation von Cfb

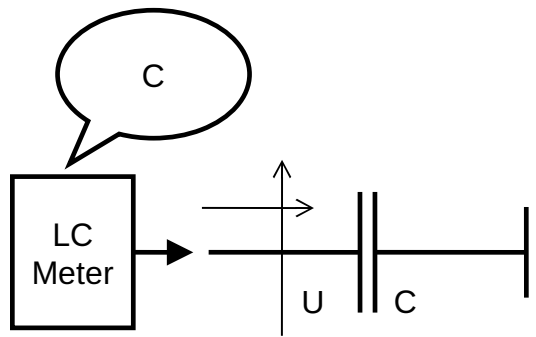


$$T = RC$$

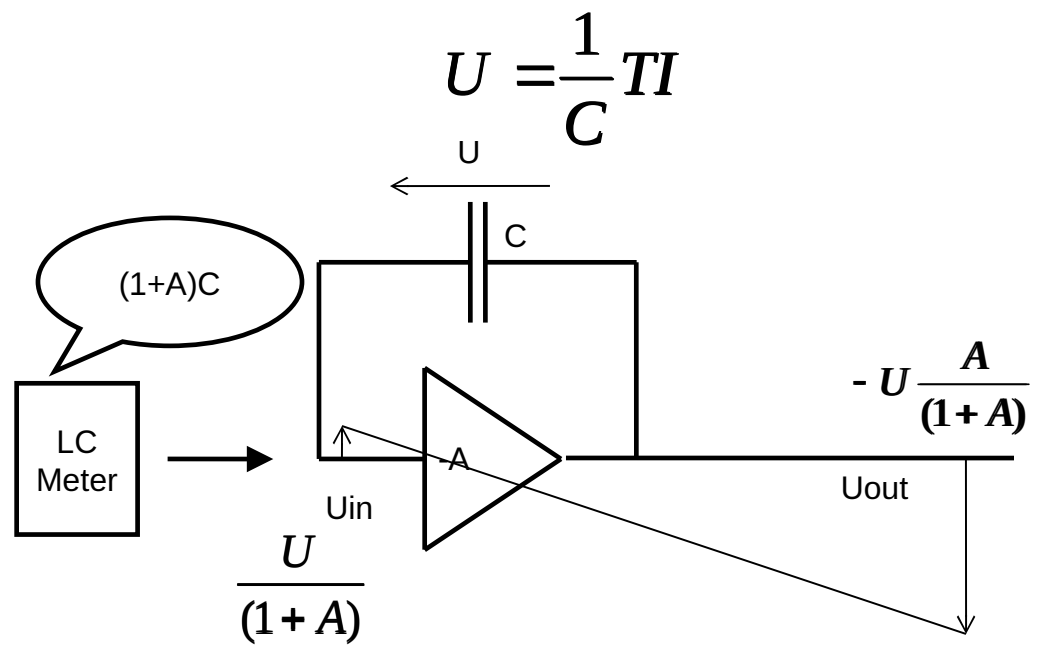


$$T = R \cdot A_C$$

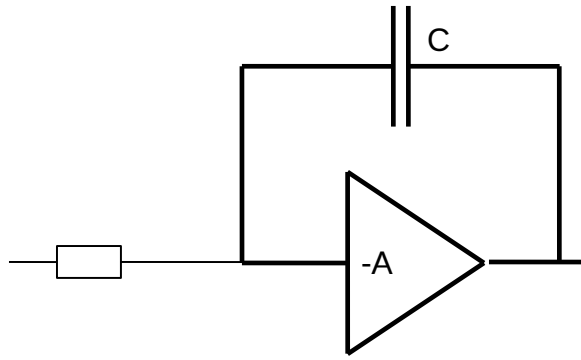
Millereffekt



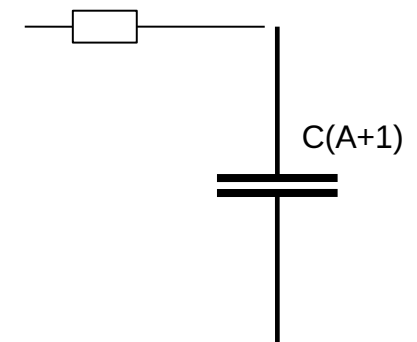
$$U = \frac{1}{C} TI$$



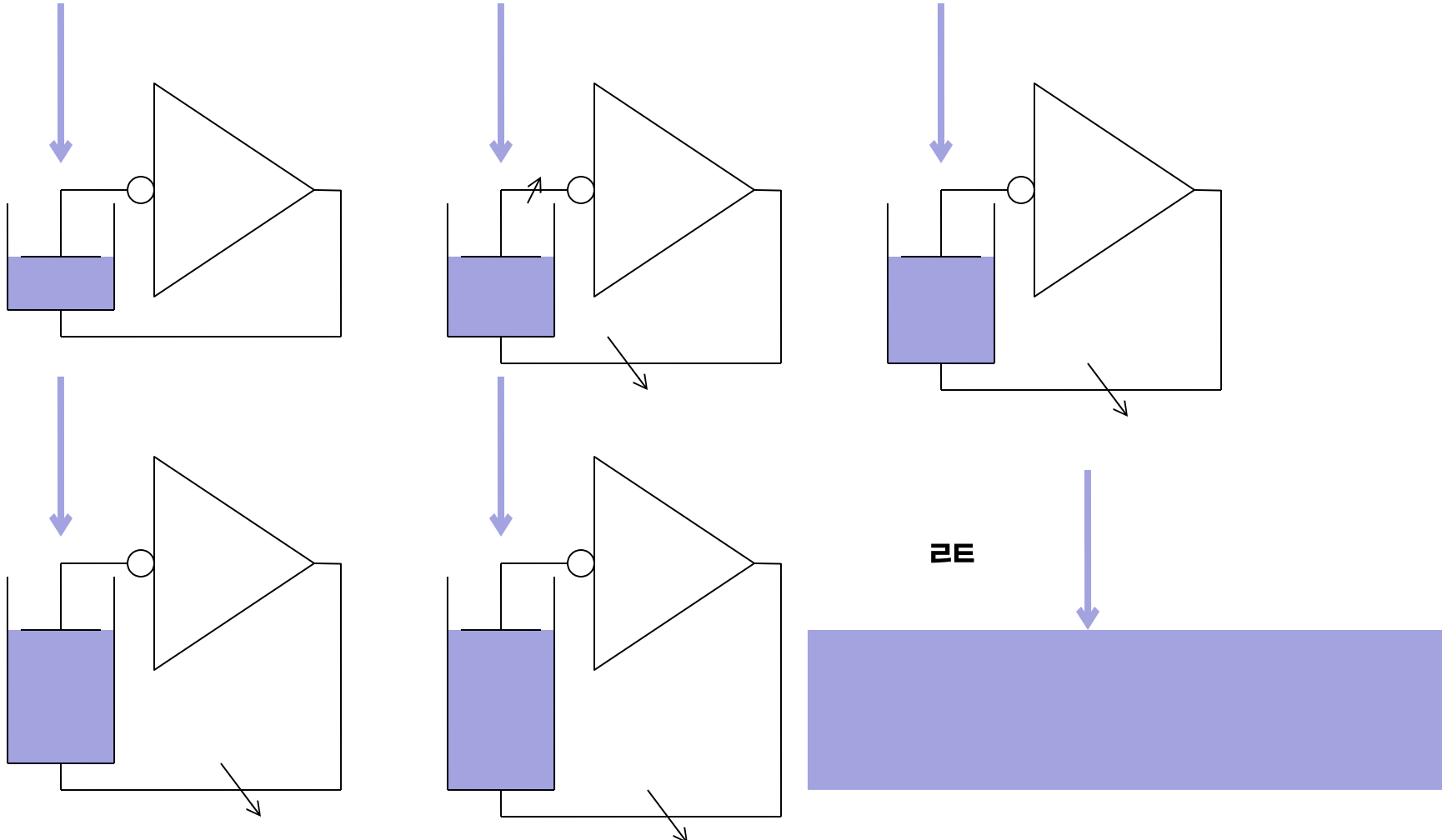
Millereffekt



ZE

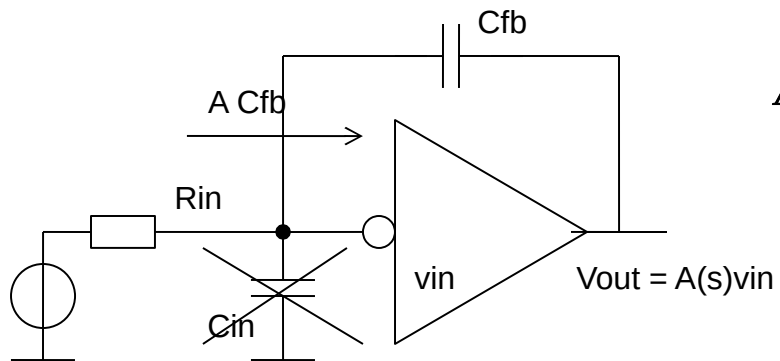


Millereffekt



Integrator

- Integrator

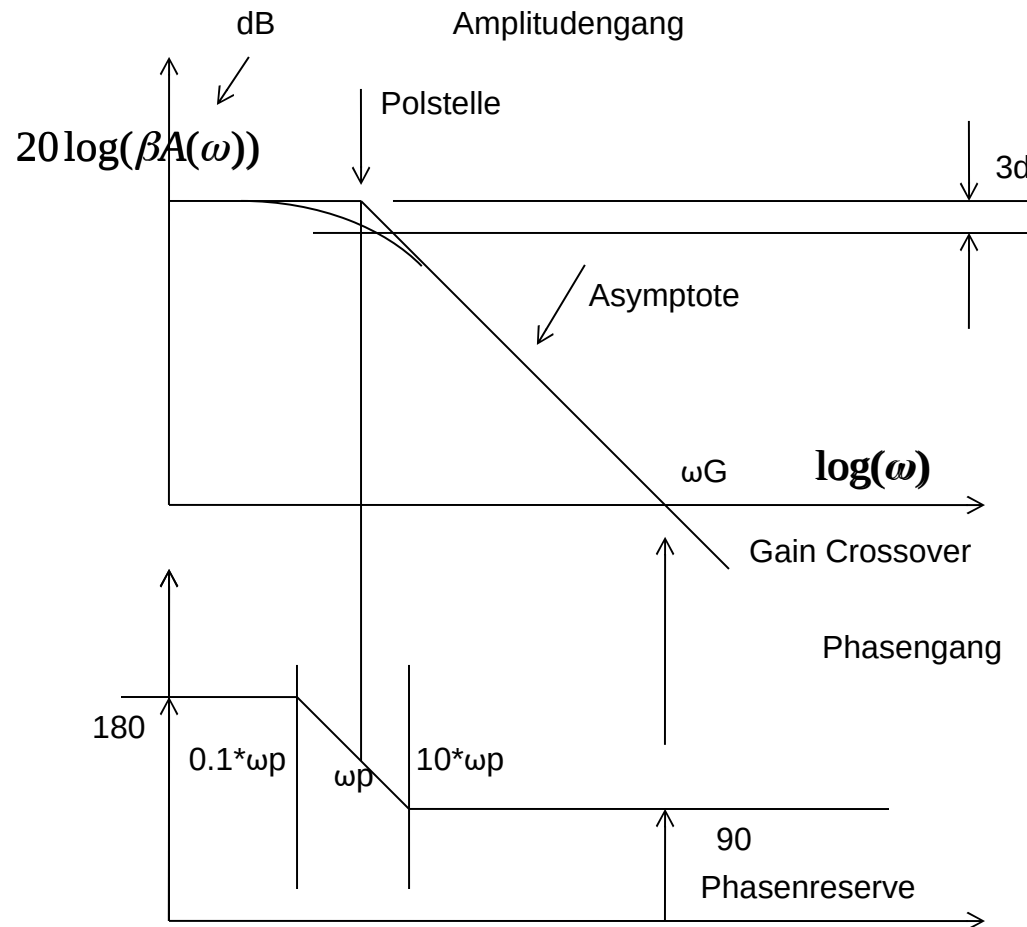


$$A_{FB} = \frac{-A}{(1 + sRAC)(1 + s\frac{\tau}{A})} \rightarrow -\frac{1}{sRC}$$

Bode-Diagramm und Stabilität

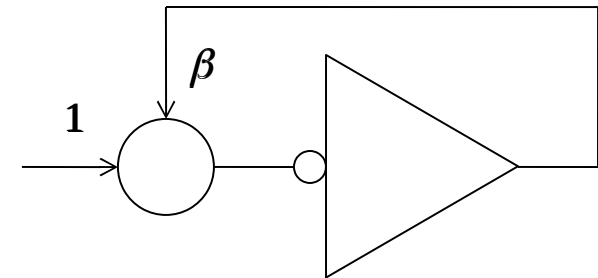
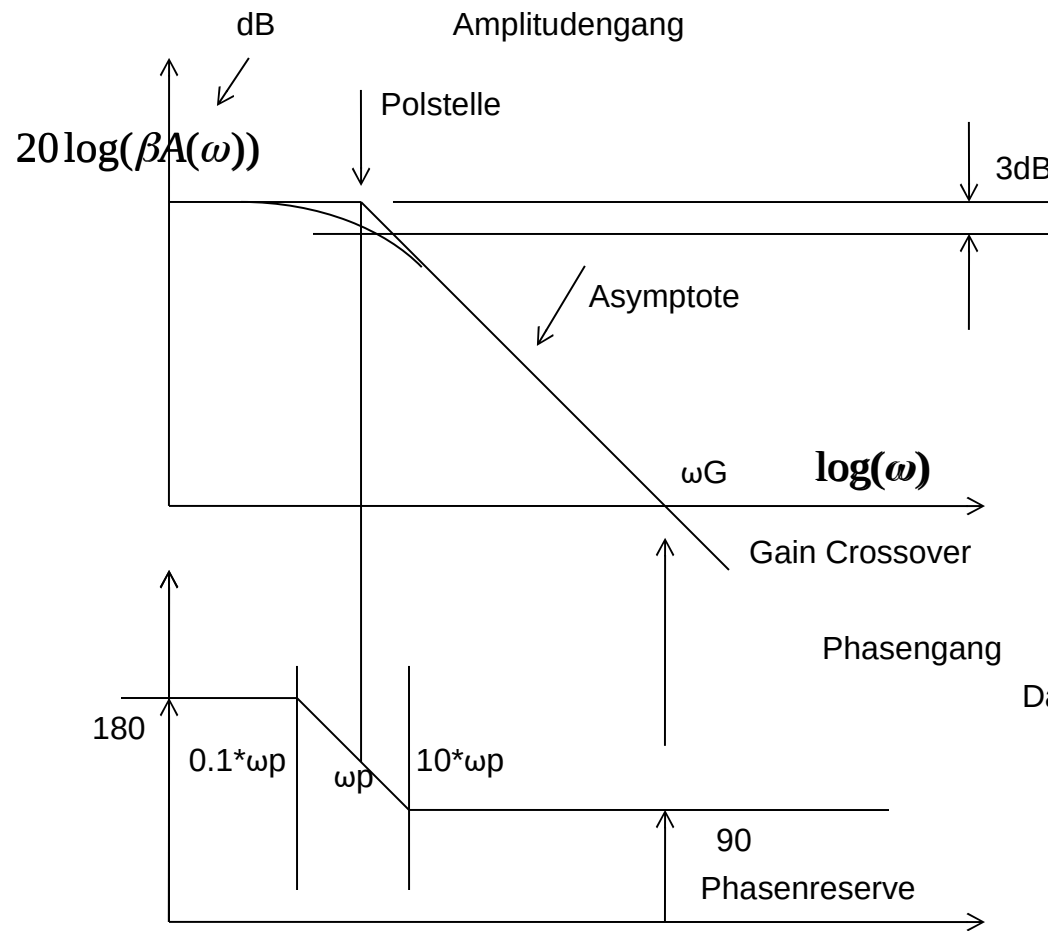
Bode Diagramm

- Bode Diagramm



Stabilität (Nyquistkriterium)

- System ist stabil wenn die Phasenreserve > 0 (Phasenänderung < 180)



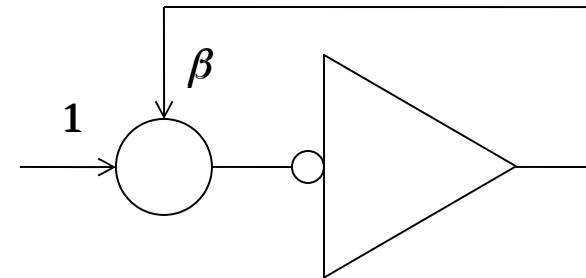
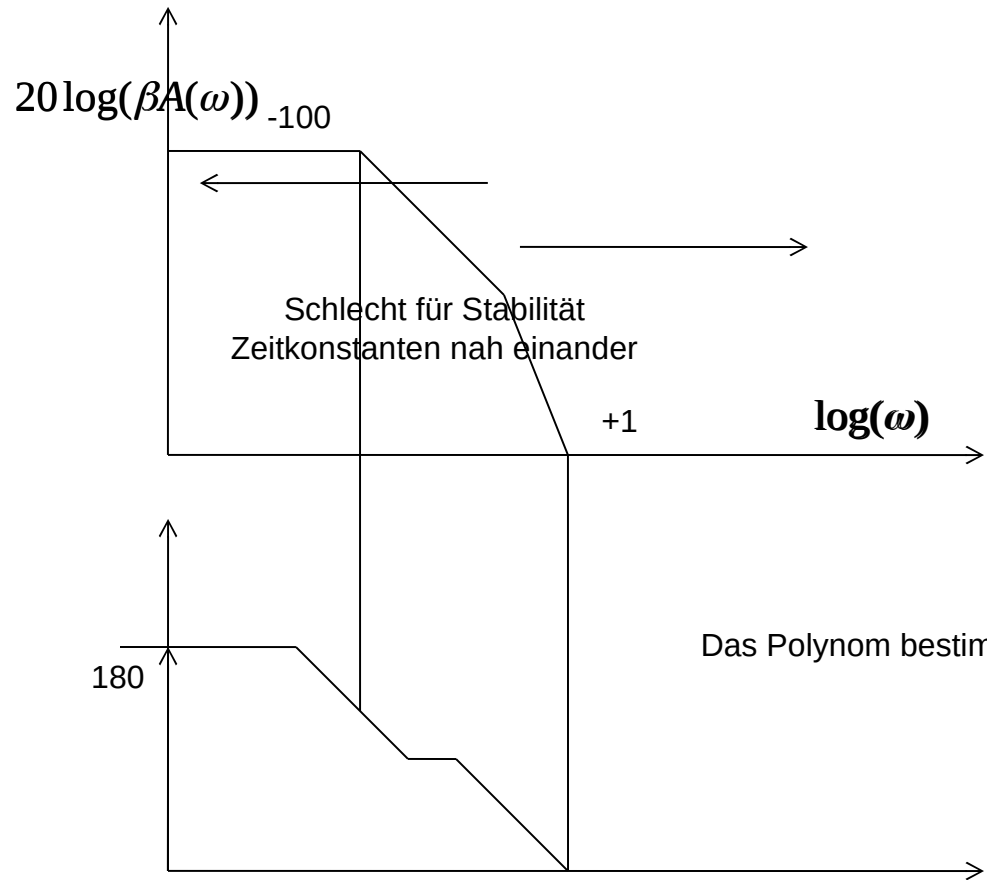
$$A_F = \frac{FF + A_{IN} A_{OL}}{1 - \beta A}$$

Das Polynom bestimmt Eigenverhalten des Systems

$$v(t) = \sum_i c_i \exp(\lambda_i t)$$

Instabil

- Phasenänderung = 180 \rightarrow Oszillator



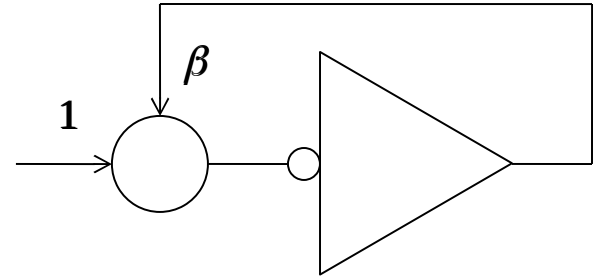
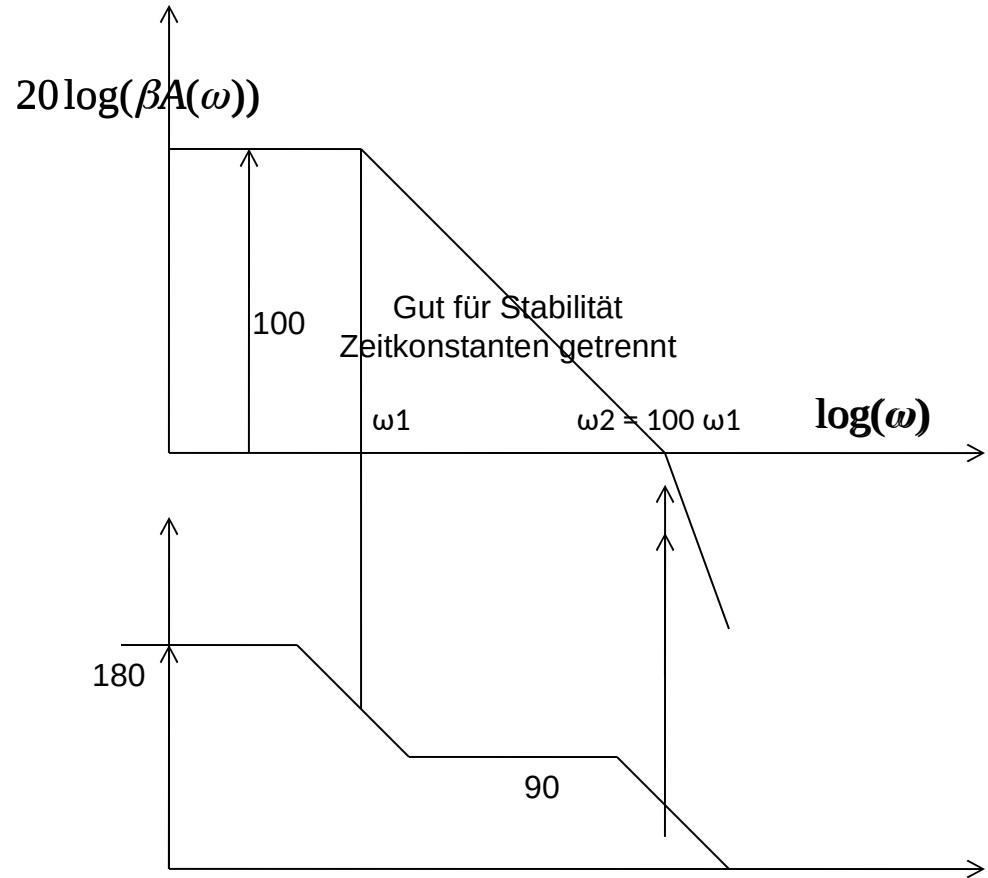
$$A_F = \frac{FF + A_{IN} A_{OL}}{1 - \beta A}$$

1-1

$$v(t) = \sum_i c_i \exp(\lambda_i t)$$

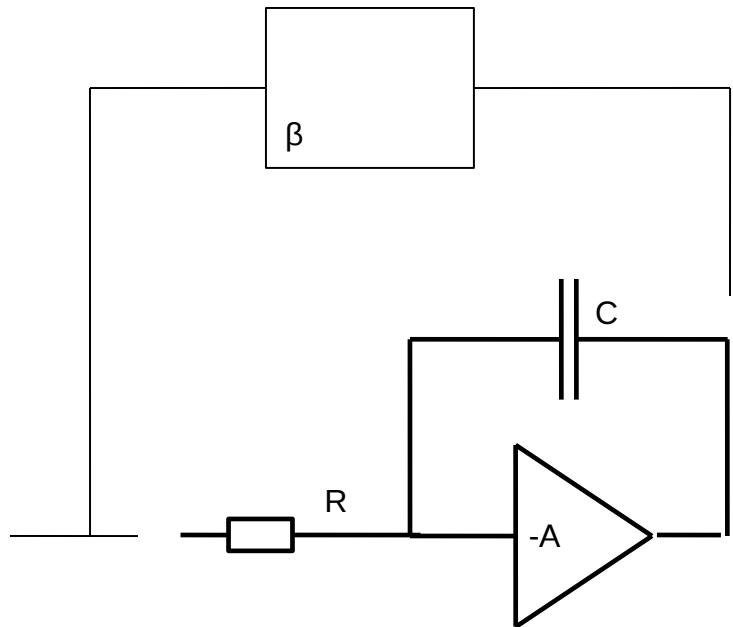
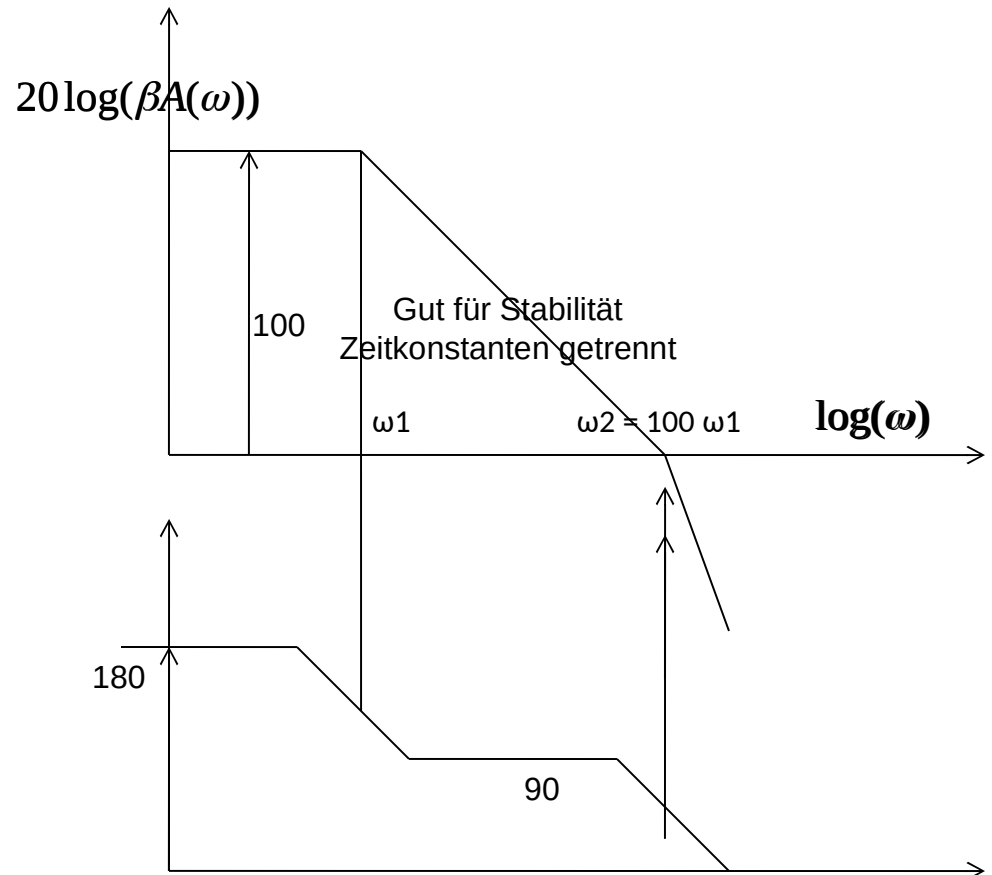
Stabil

- Phasenreserve 45°
- Beispiel: $\beta A = 100$, die zweite Zeitkonstante soll 100 kleiner sein als die dominante T



$$A_F = \frac{FF + A_{IN}A_{OL}}{1 - \beta A}$$

Stabil



- Rückkopplung – nichtinvertierender Verstärker
- Impedanzen und RK (Beispiel Nichtinvertierender Verstärker)
- R_{in} wird höher, R_{out} niedriger
- Integrator (Millereffekt)
- Kapazität wird multipliziert
- Bode-Diagramm und Stabilität (Nyquistkriterium)
- System ist stabil wenn Phasenreserve > 0
- Trennung von Zeitkonstanten ist gut für Stabilität